

GRACE/GRACE-FO: Gravity Recovery and Climate Experiment

Torsten Mayer-Gürr

Institute of Geodesy
Graz University of Technology

Parameterschätzung Übung

2025-10-22



Gravity Recovery and Climate Experiment

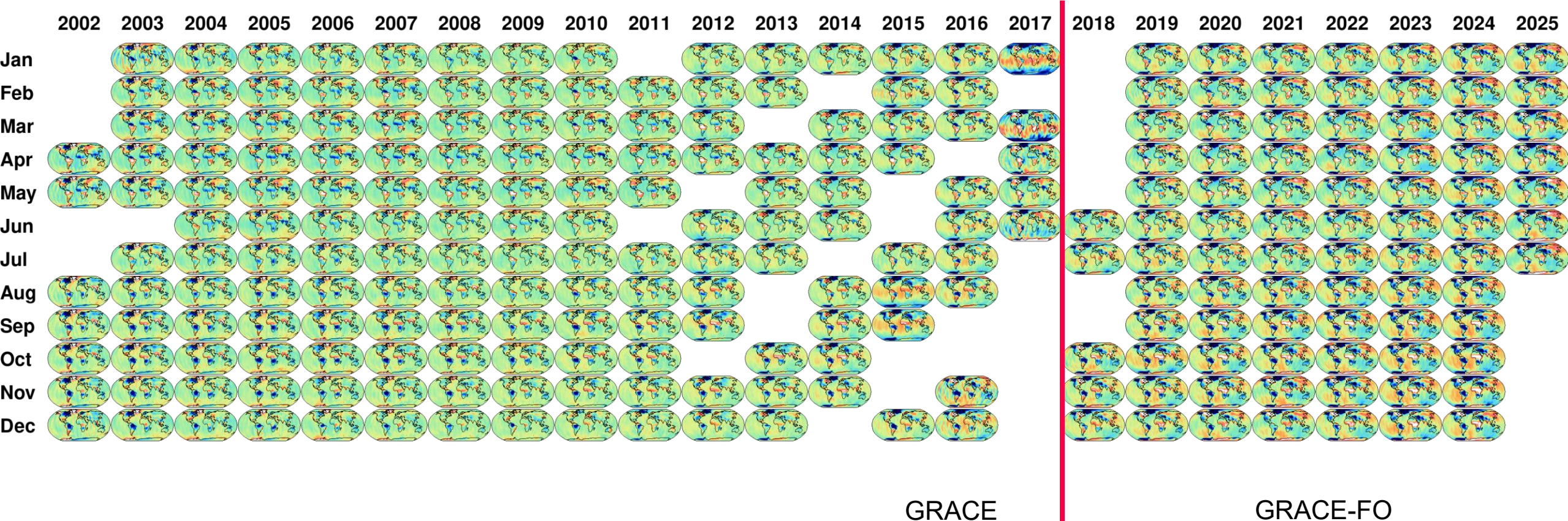




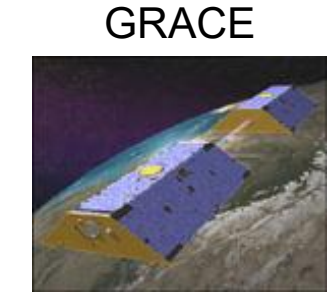


ITSG-Grace monthly gravity field solutions





ITSG-Grace2018: Monthly and Daily solutions ifg.tugraz.at/downloads/gravity-field-models/itsg-grace2018/

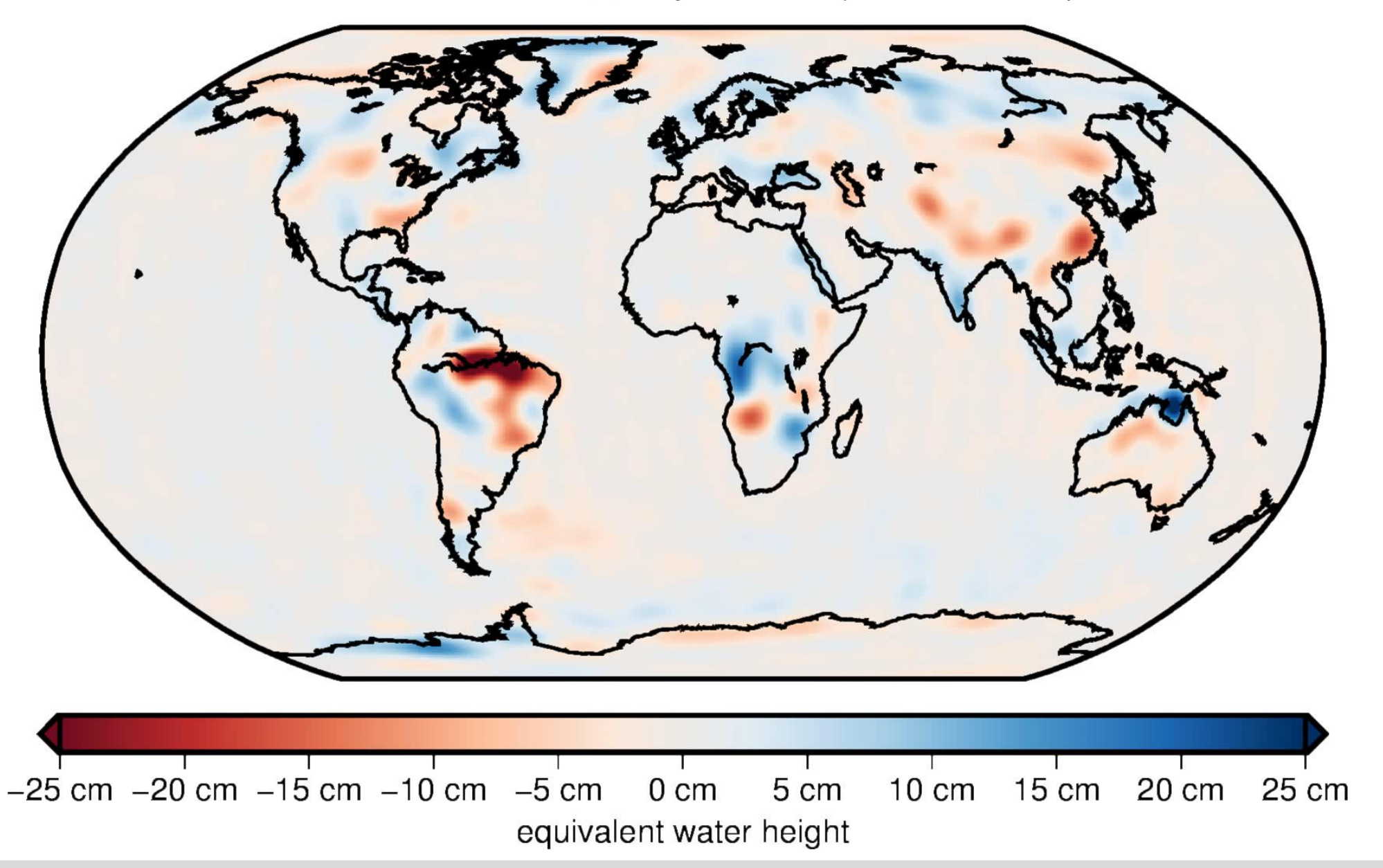


SICKOL-I O



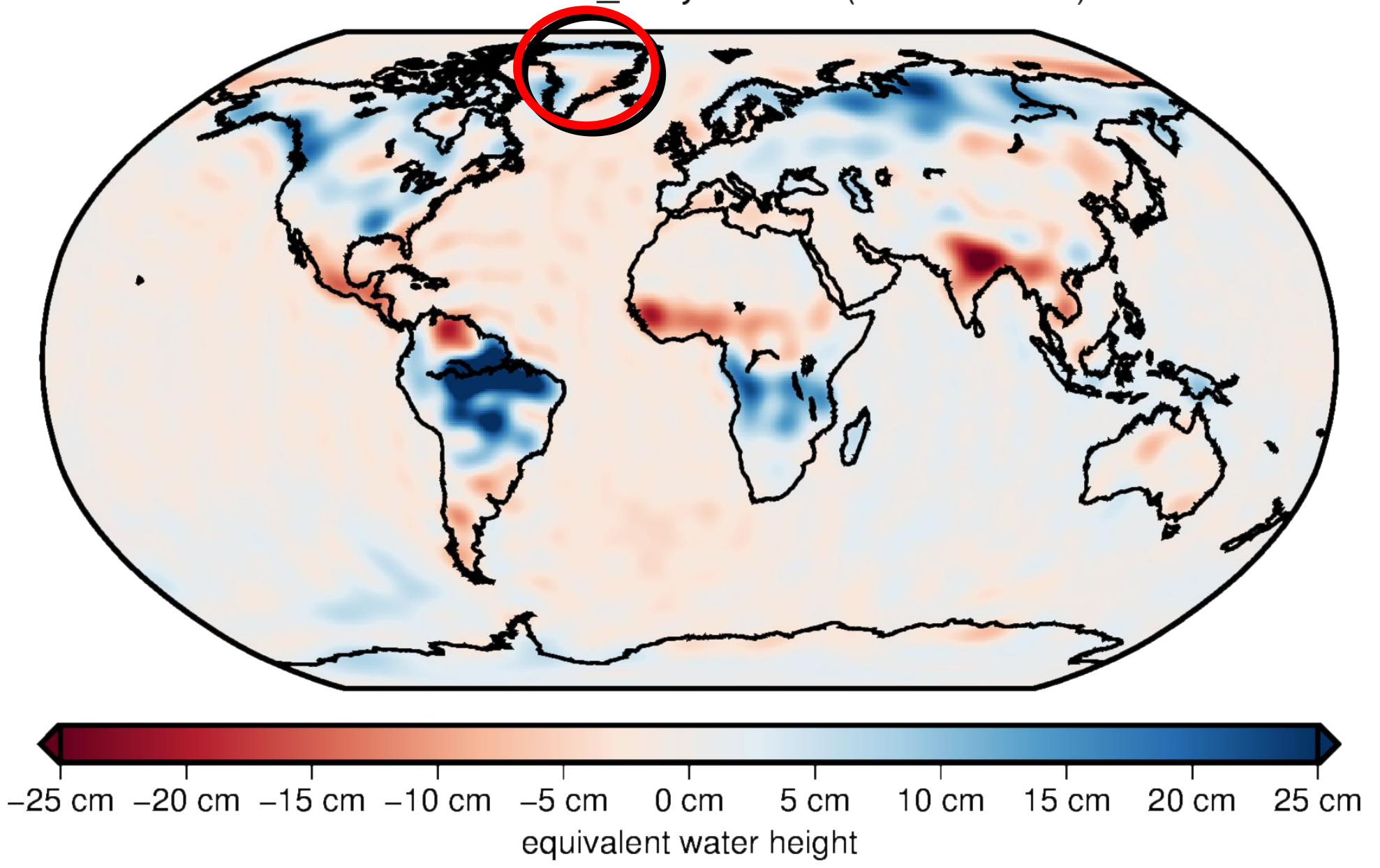
ITSG-Grace2016_dailyKalman (2008-01-01)





ITSG-Grace2016_dailyKalman (2008-05-18)

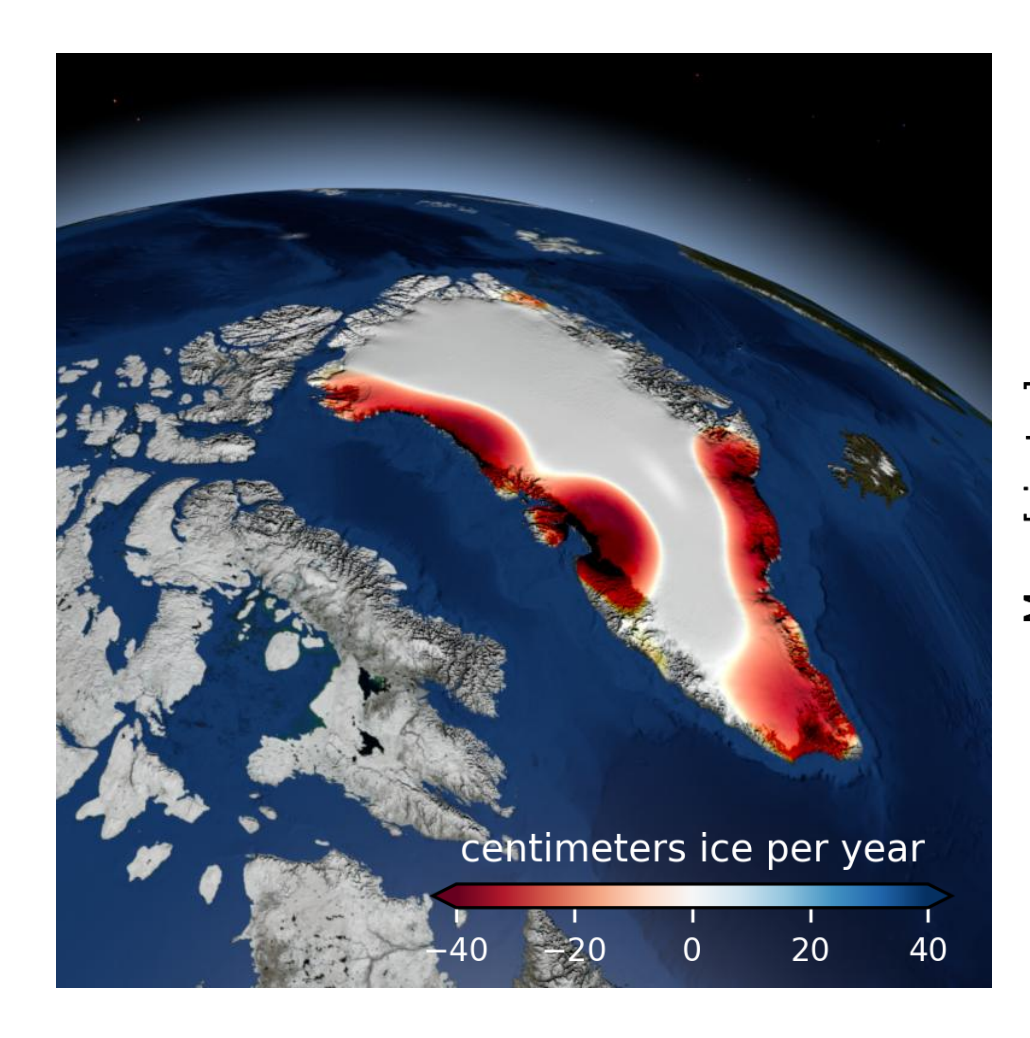


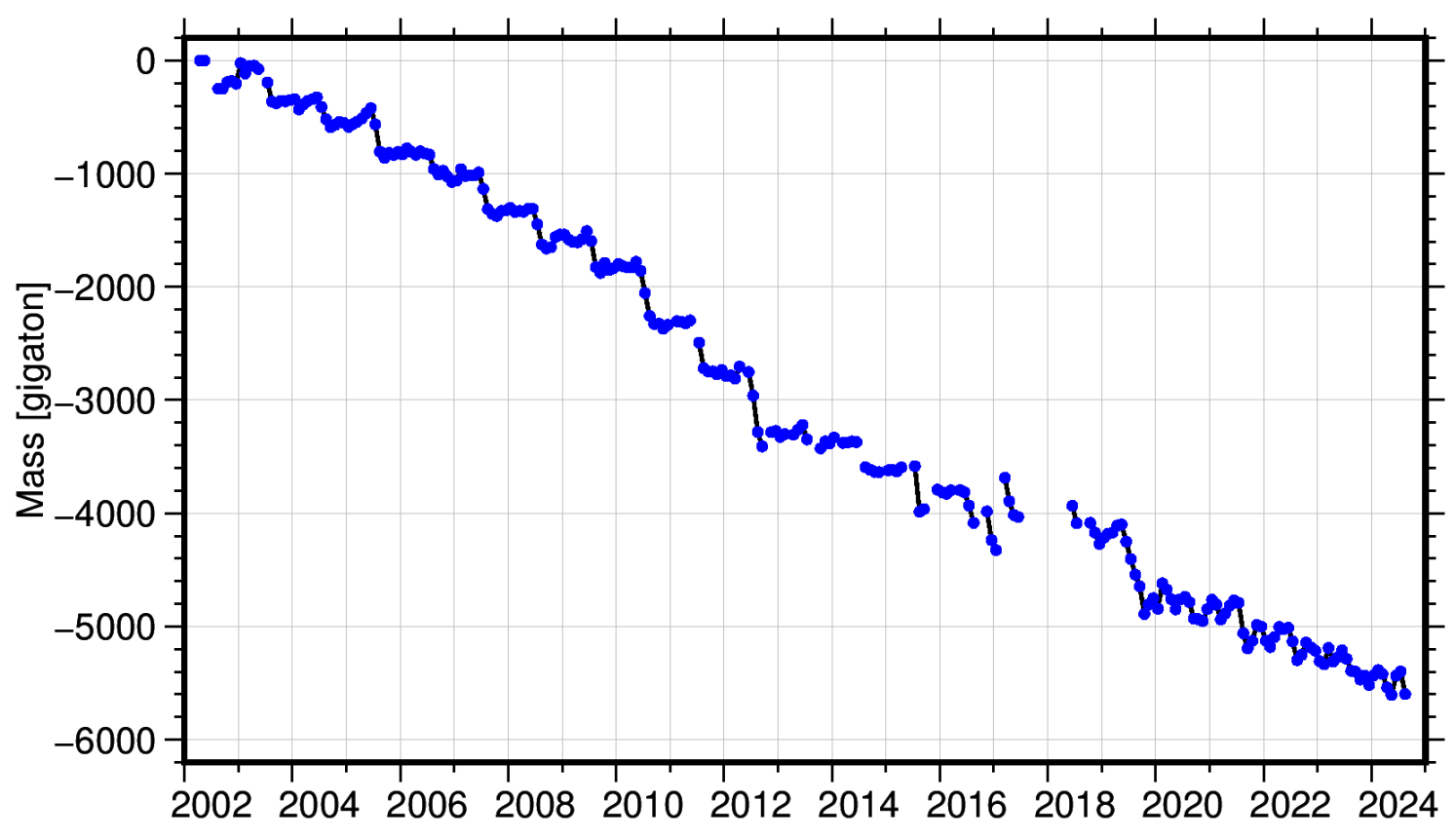




Ice melting in Greenland



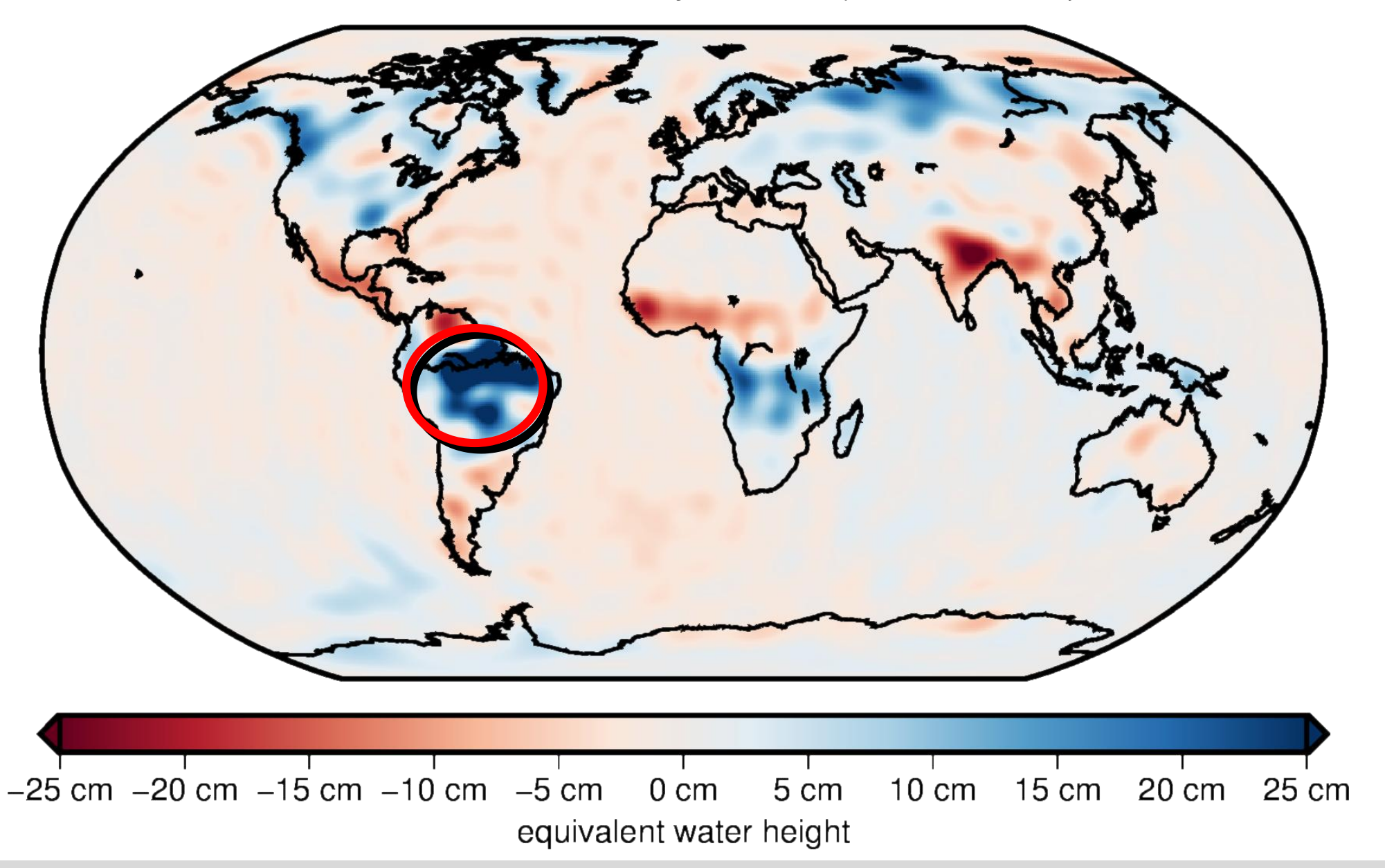






ITSG-Grace2016_dailyKalman (2008-05-18)

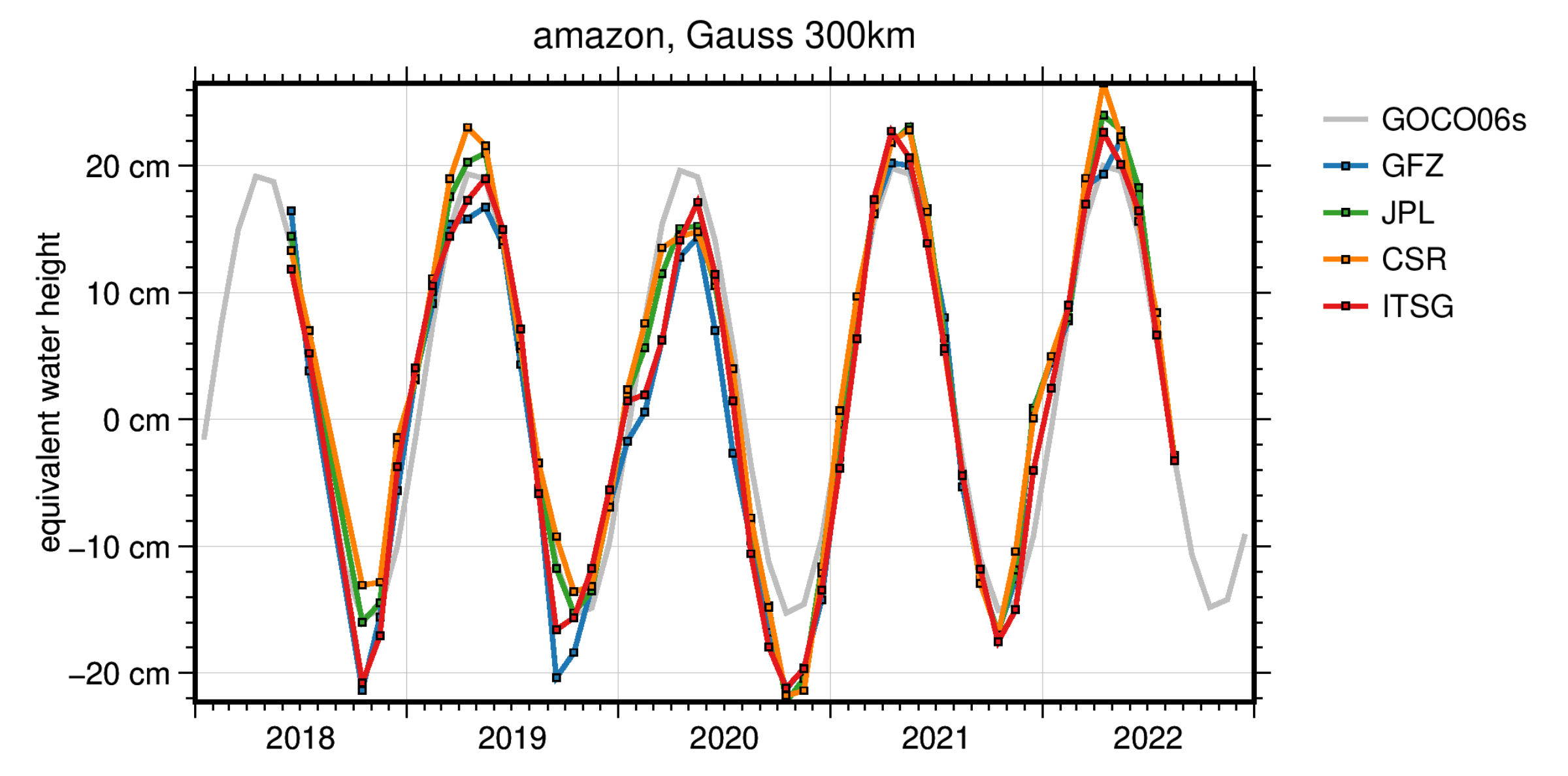






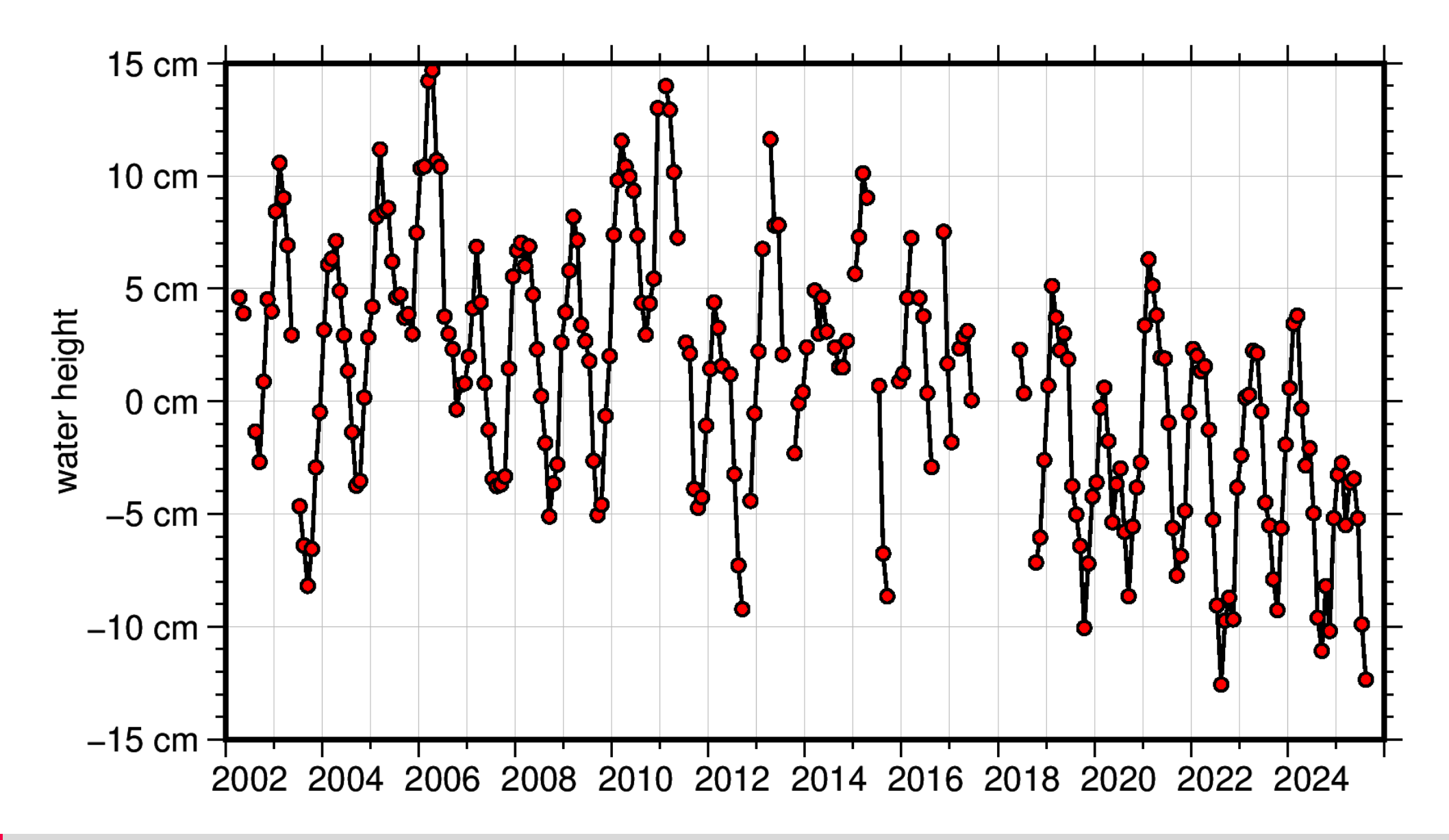
Amazon





Danube (Donau)

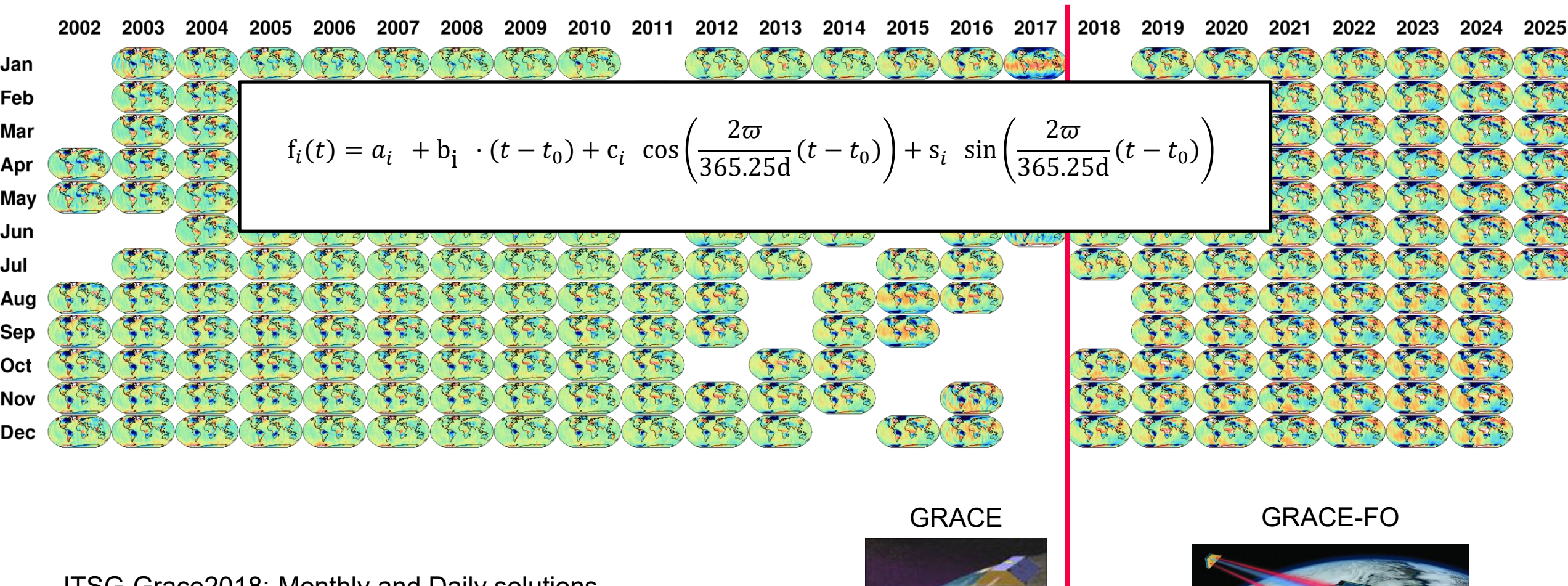




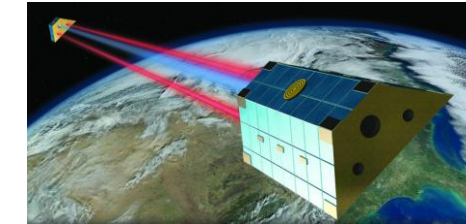


ITSG-Grace monthly gravity field solutions



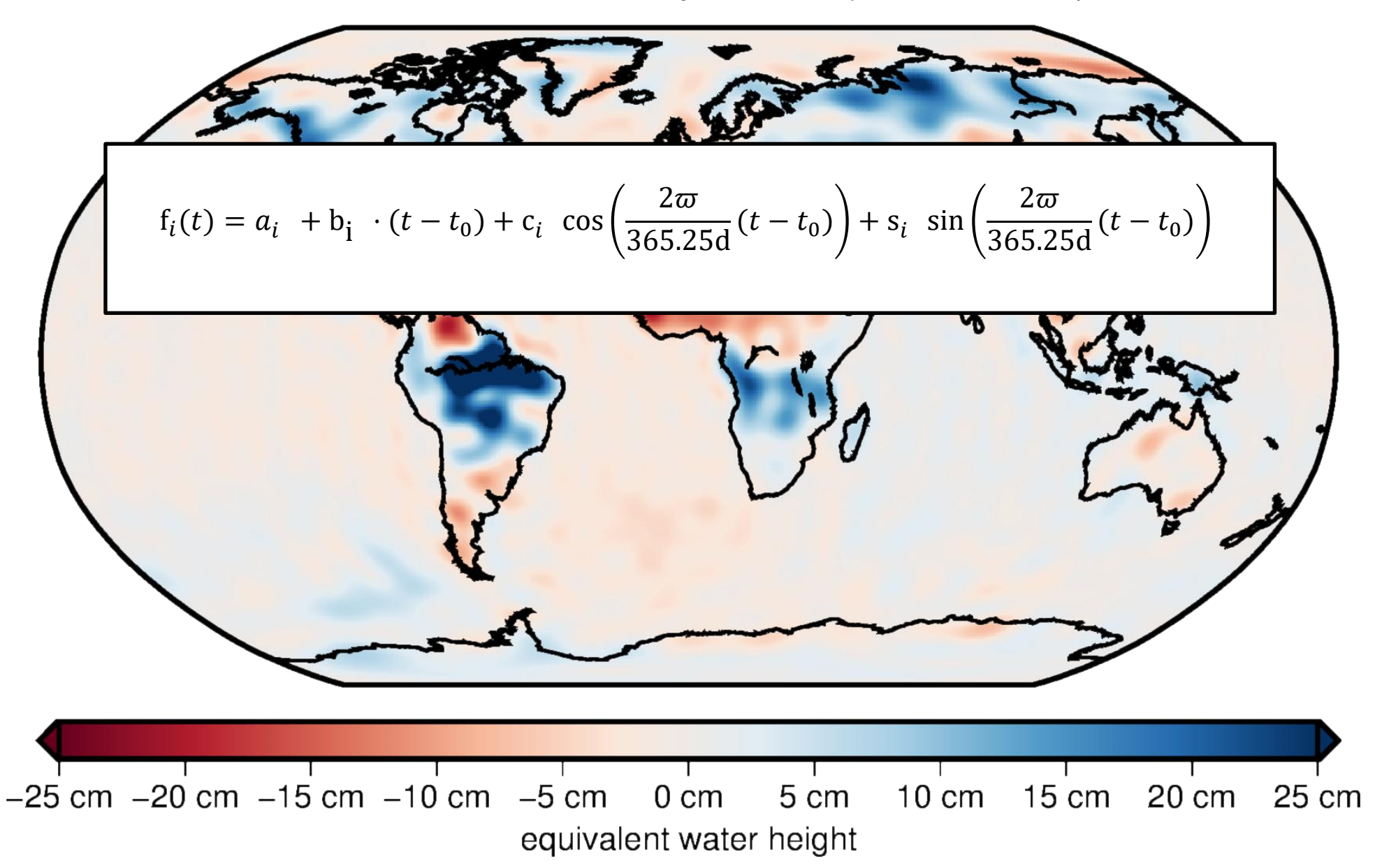


ITSG-Grace2018: Monthly and Daily solutions ifg.tugraz.at/downloads/gravity-field-models/itsg-grace2018/



ITSG-Grace2016_dailyKalman (2008-05-18)

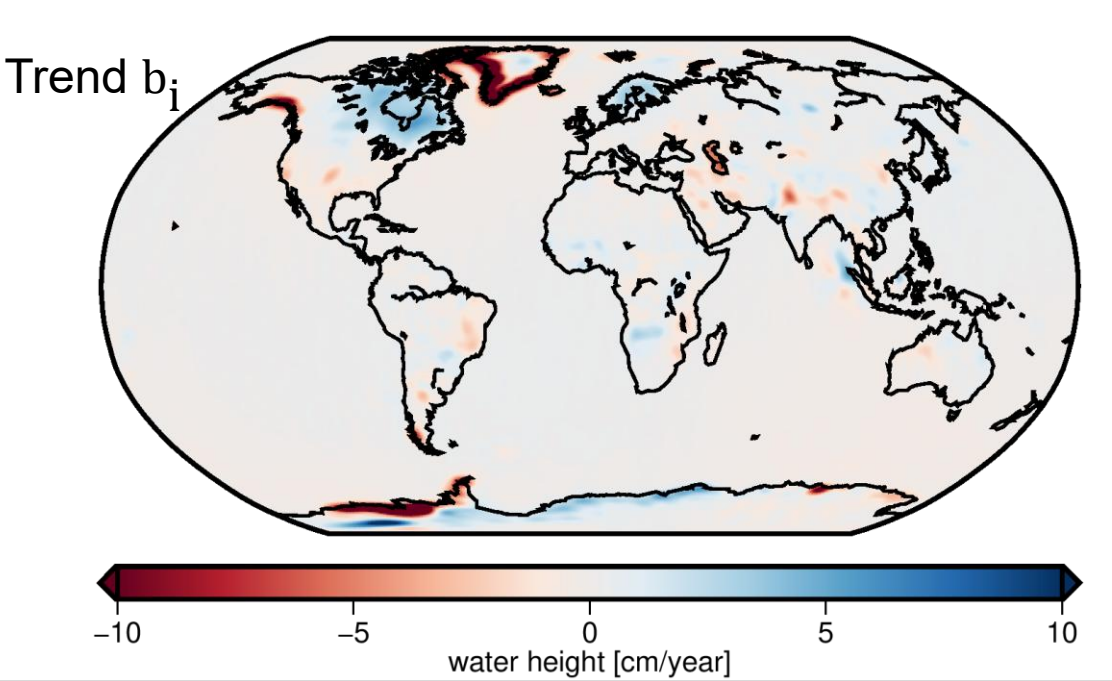


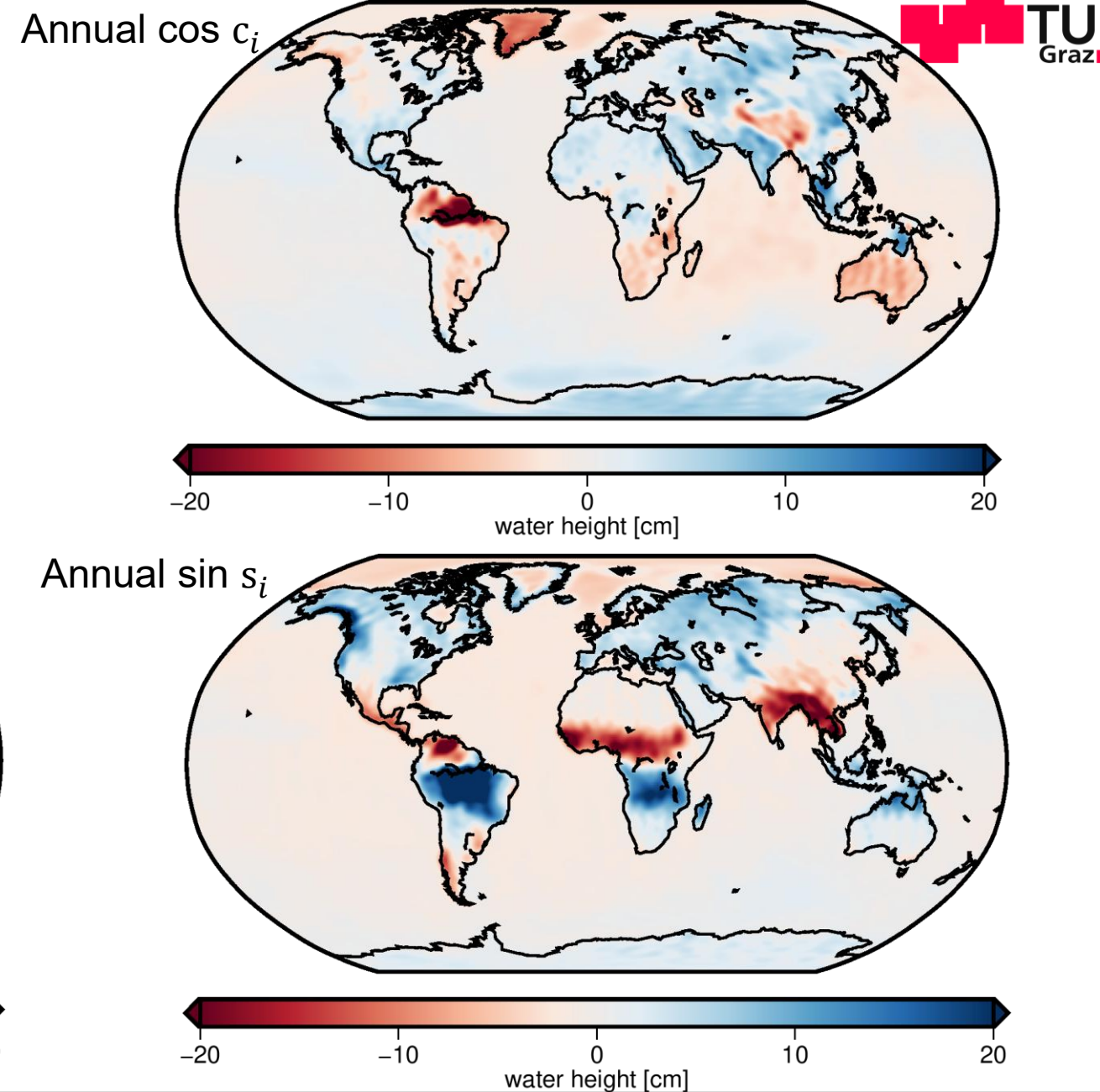




Trend and annual estimation

$$\begin{aligned} &\mathbf{f}_i(t) = a_i \\ &+ \mathbf{b}_i \cdot (t - t_0) \\ &+ \mathbf{c}_i \cos \left(\frac{2\varpi}{365.25 \mathbf{d}} (t - t_0) \right) \\ &+ \mathbf{s}_i \sin \left(\frac{2\varpi}{365.25 \mathbf{d}} (t - t_0) \right) \end{aligned}$$







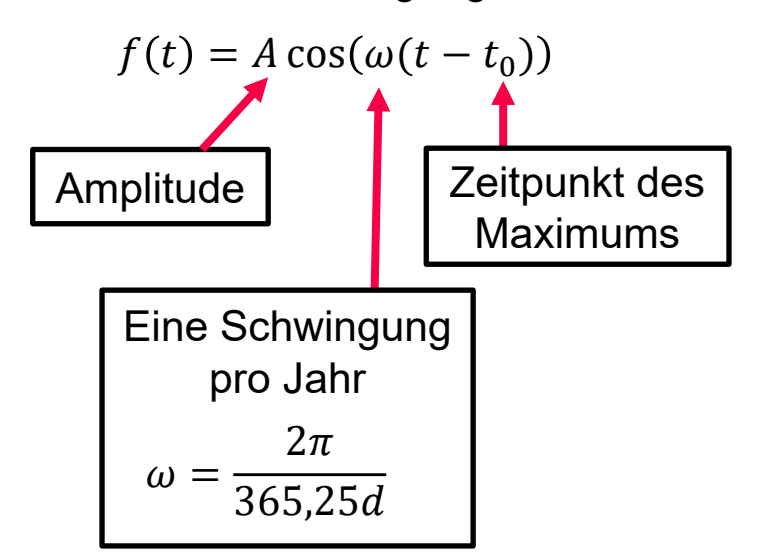


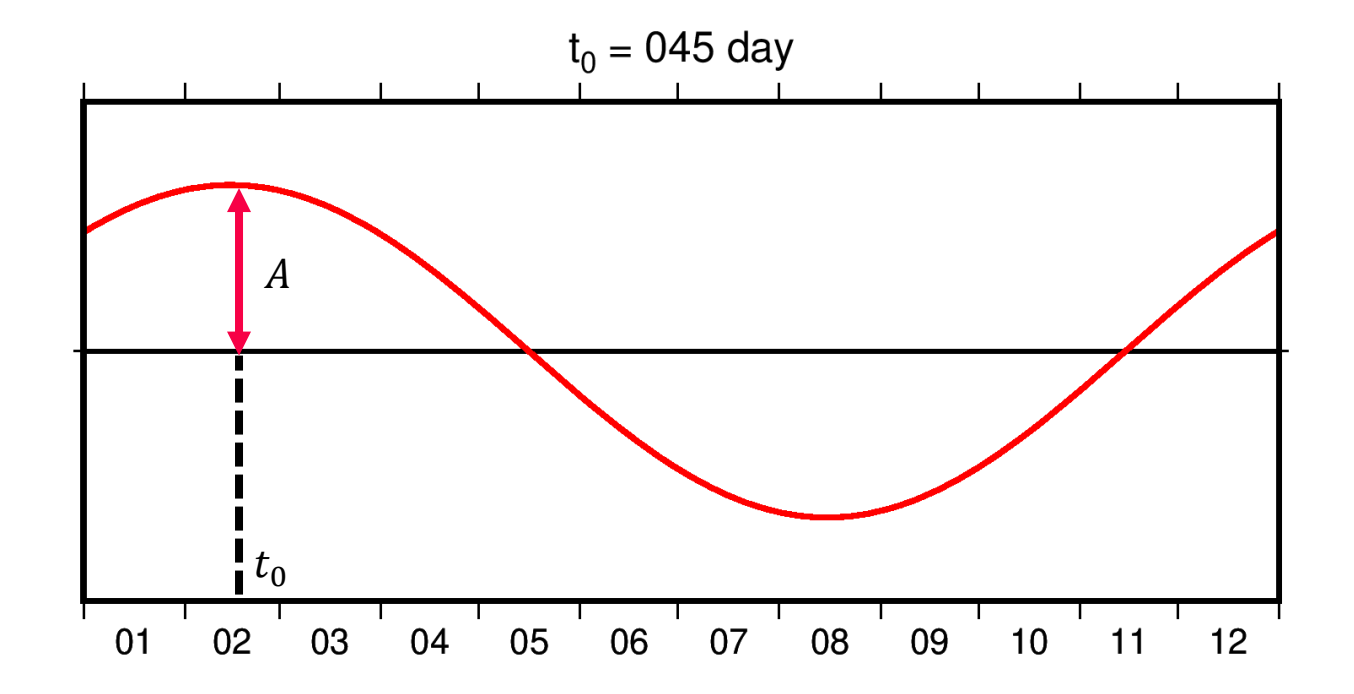
Jährliches Signal





Jährliche Schwingung







Jährliche Schwingung

$$f(t) = A\cos(\omega(t - t_0))$$

$$= \underbrace{A\cos\omega t_0}_{c}\cos\omega t + \underbrace{A\sin\omega t_0}_{s}\sin\omega t$$

$$= c\cos\omega t + s\sin\omega t$$

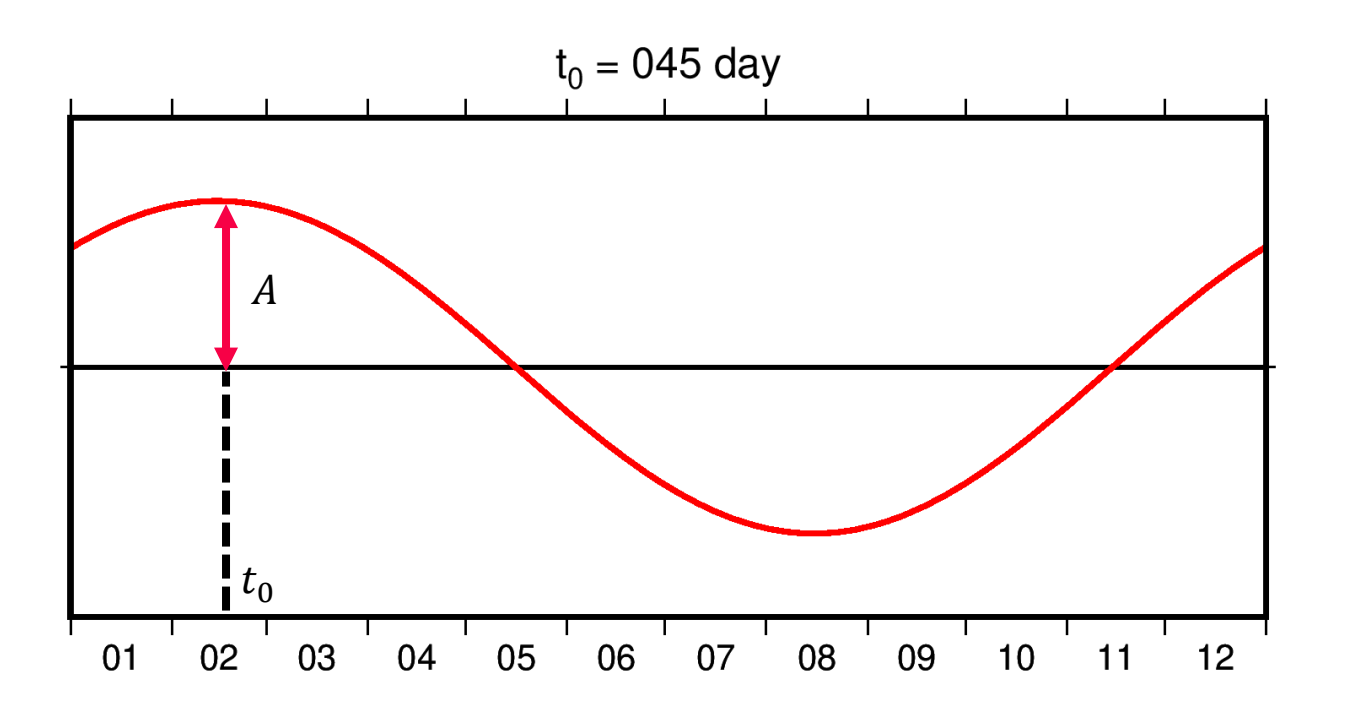
Additionstheorem

mit

$$c = A\cos\omega t_0$$
$$s = A\sin\omega t_0$$

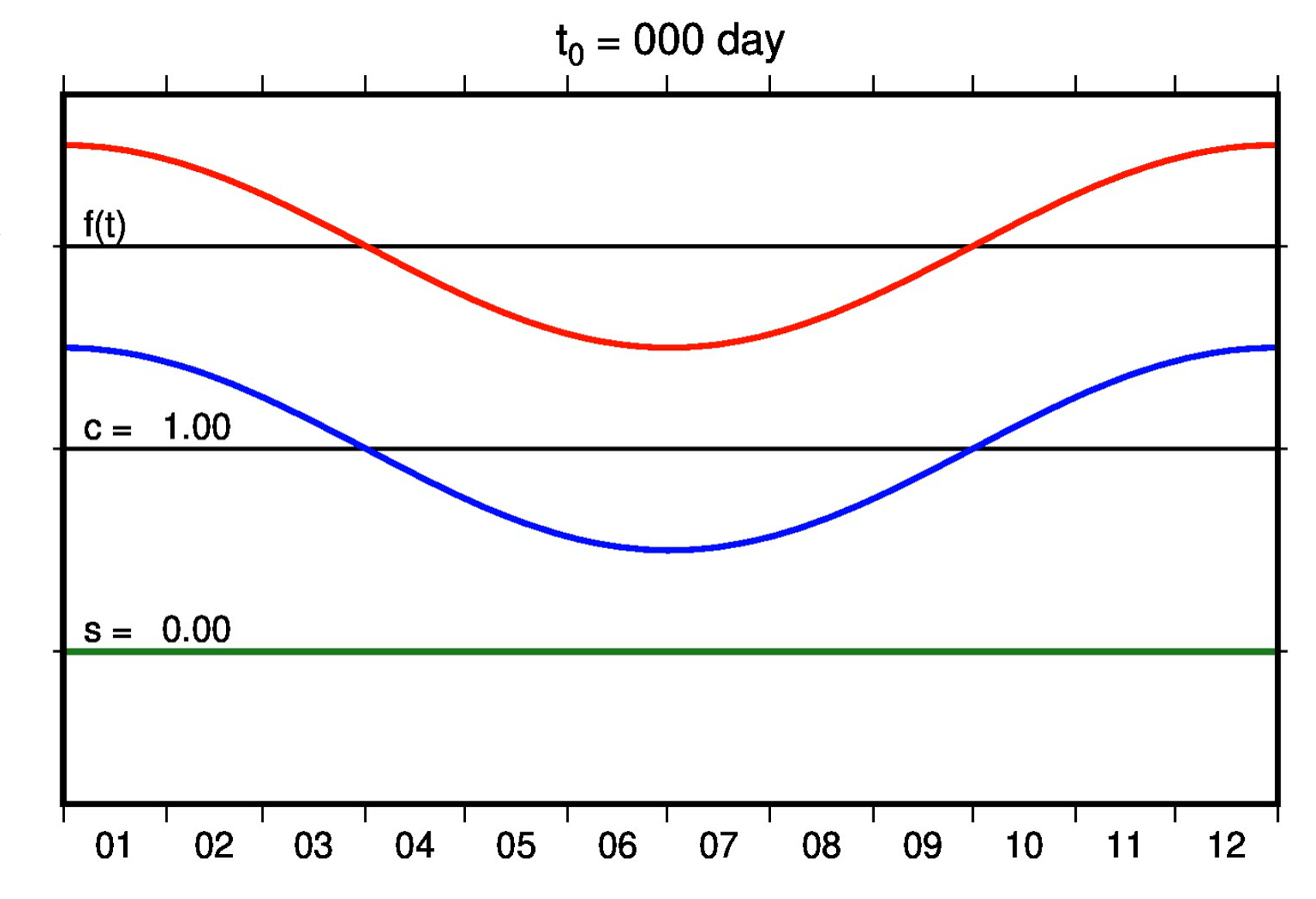
Amplitude und Phase

$$A = \sqrt{c^2 + s^2}$$
$$\tan \omega t_0 = \frac{s}{c}$$

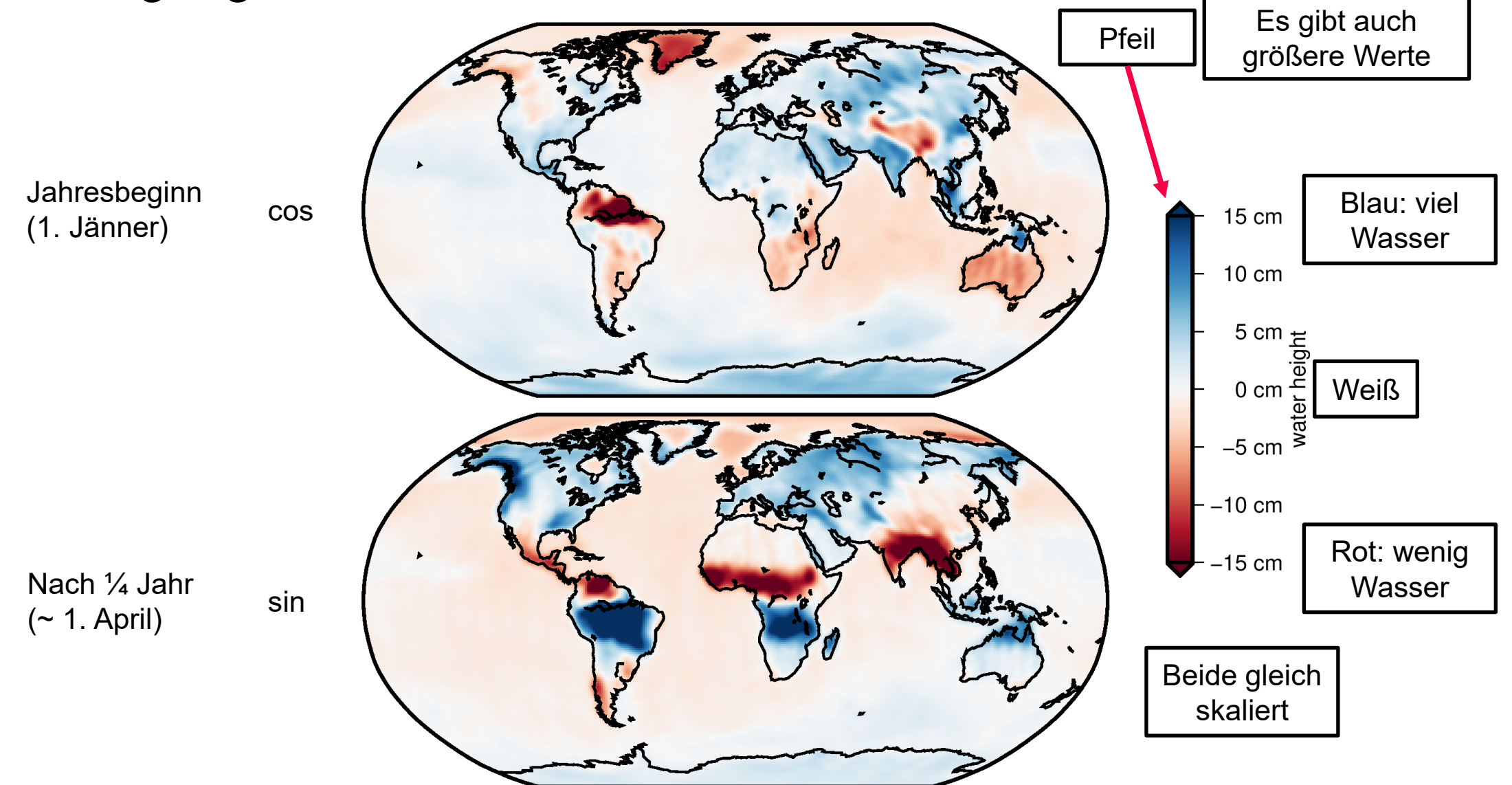




$$f(t) = c\cos\omega t + s\sin\omega t$$





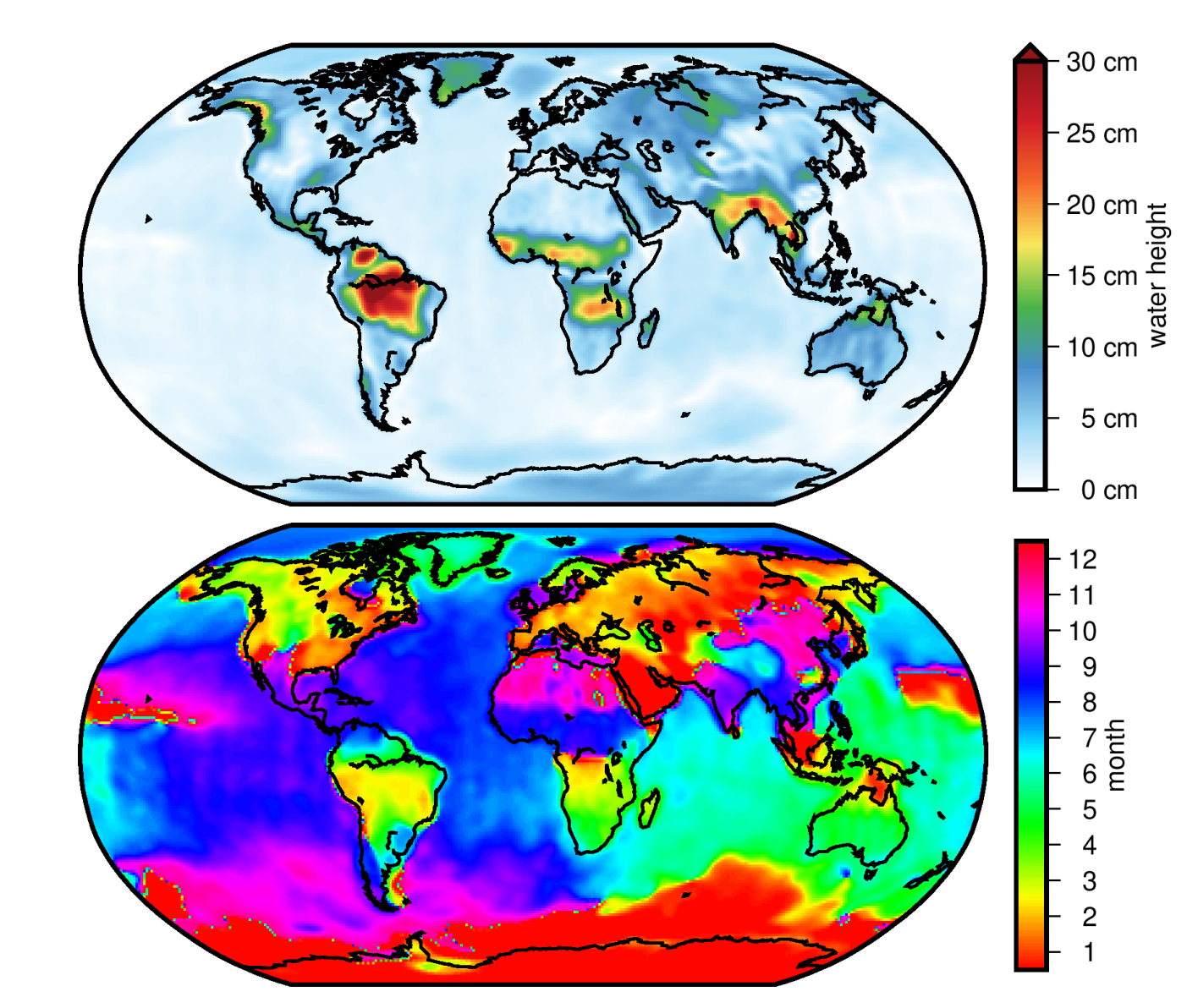








$$A = \sqrt{c^2 + s^2}$$



Phase

$$\varphi_0 = \frac{12}{2\pi} \operatorname{atan2}(s, c)$$

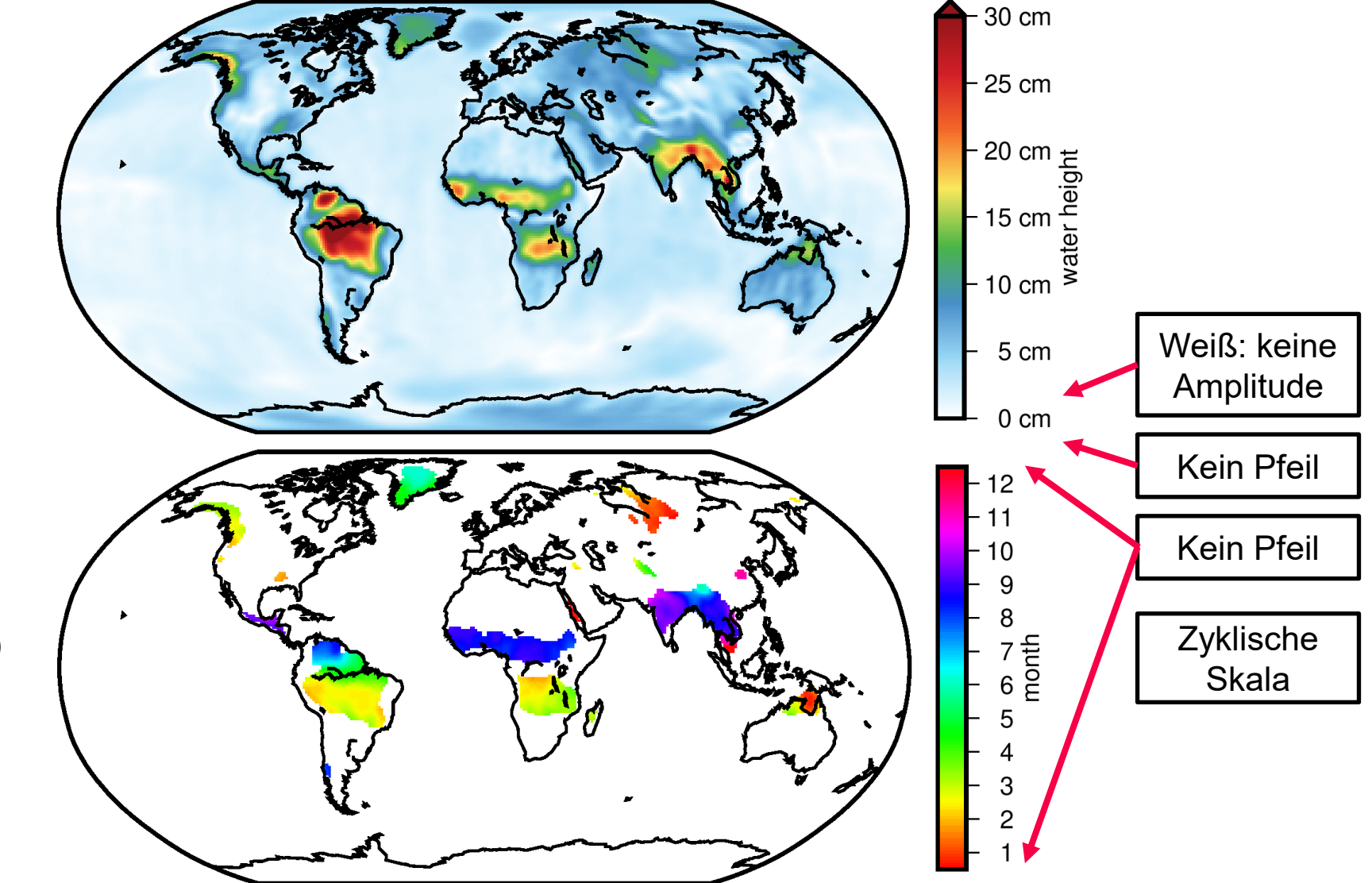
$$\bmod(\varphi_0+12,12)$$





Amplitude

$$A = \sqrt{c^2 + s^2}$$

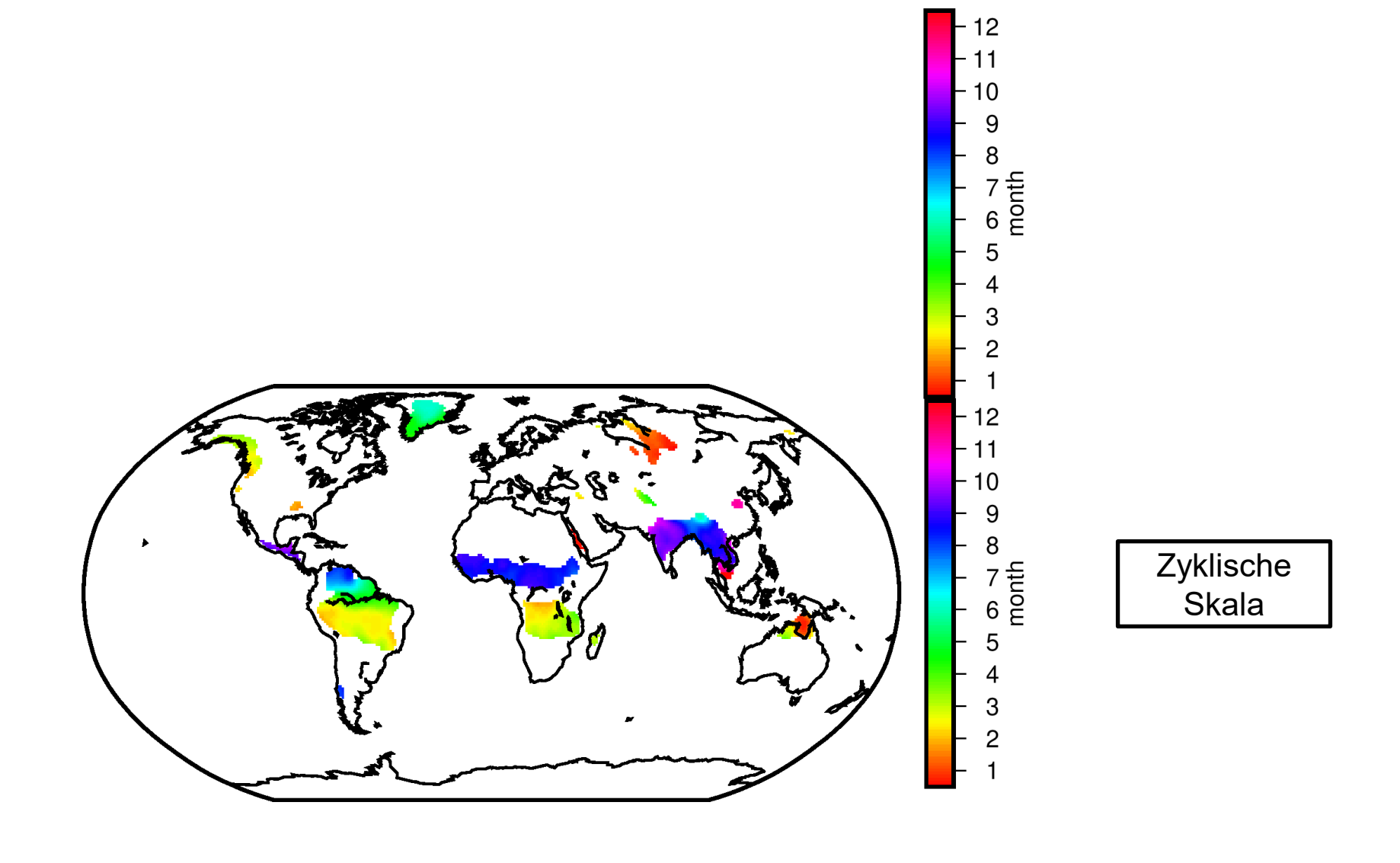


Phase (Ampl > 10 cm)

$$\varphi_0 = \frac{12}{2\pi} \operatorname{atan2}(s, c)$$

 $\bmod(\varphi_0+12,12)$







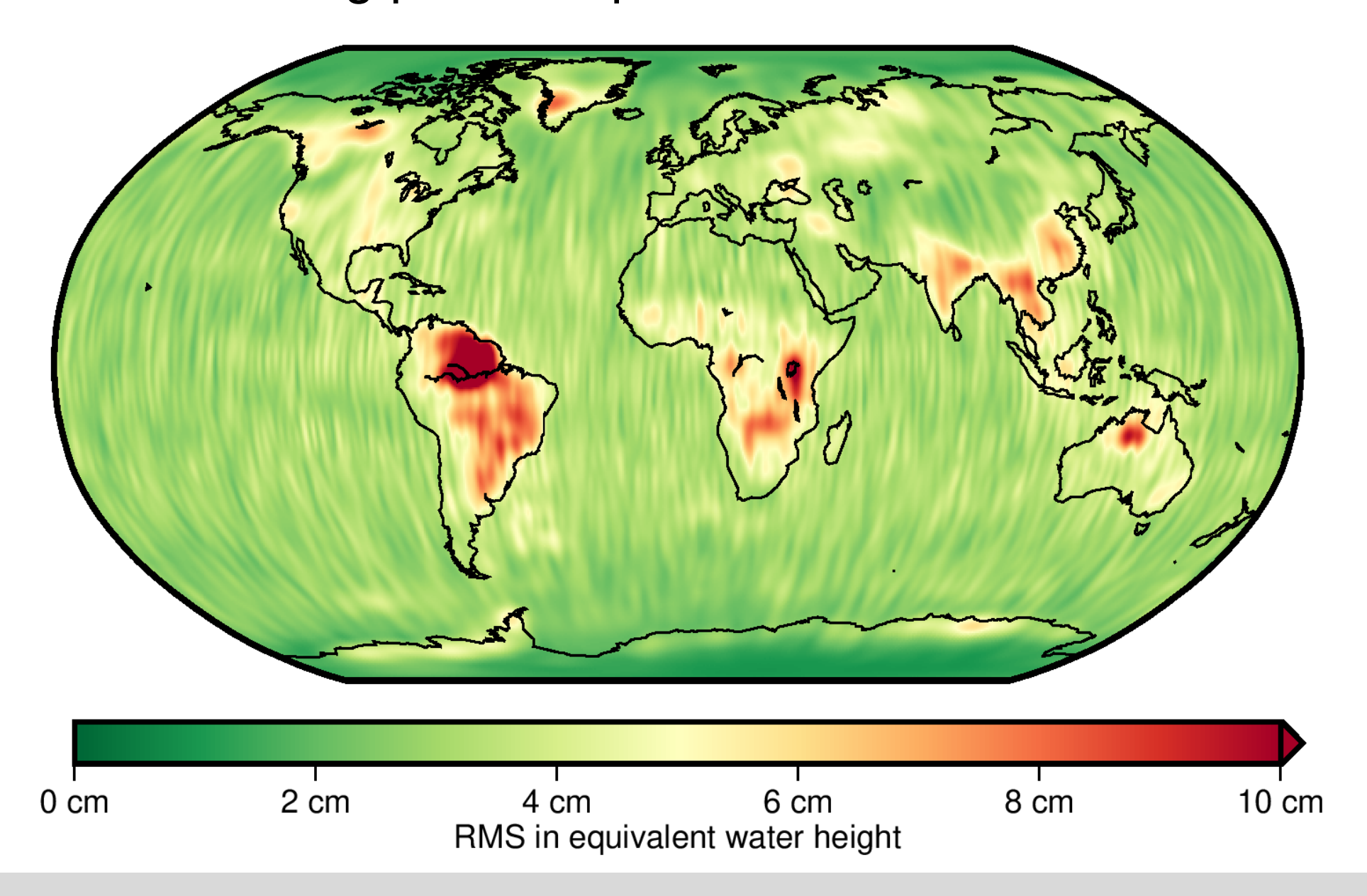


Standardabweichung pro Gitterpunkt



Standardabweichung pro Gitterpunkt

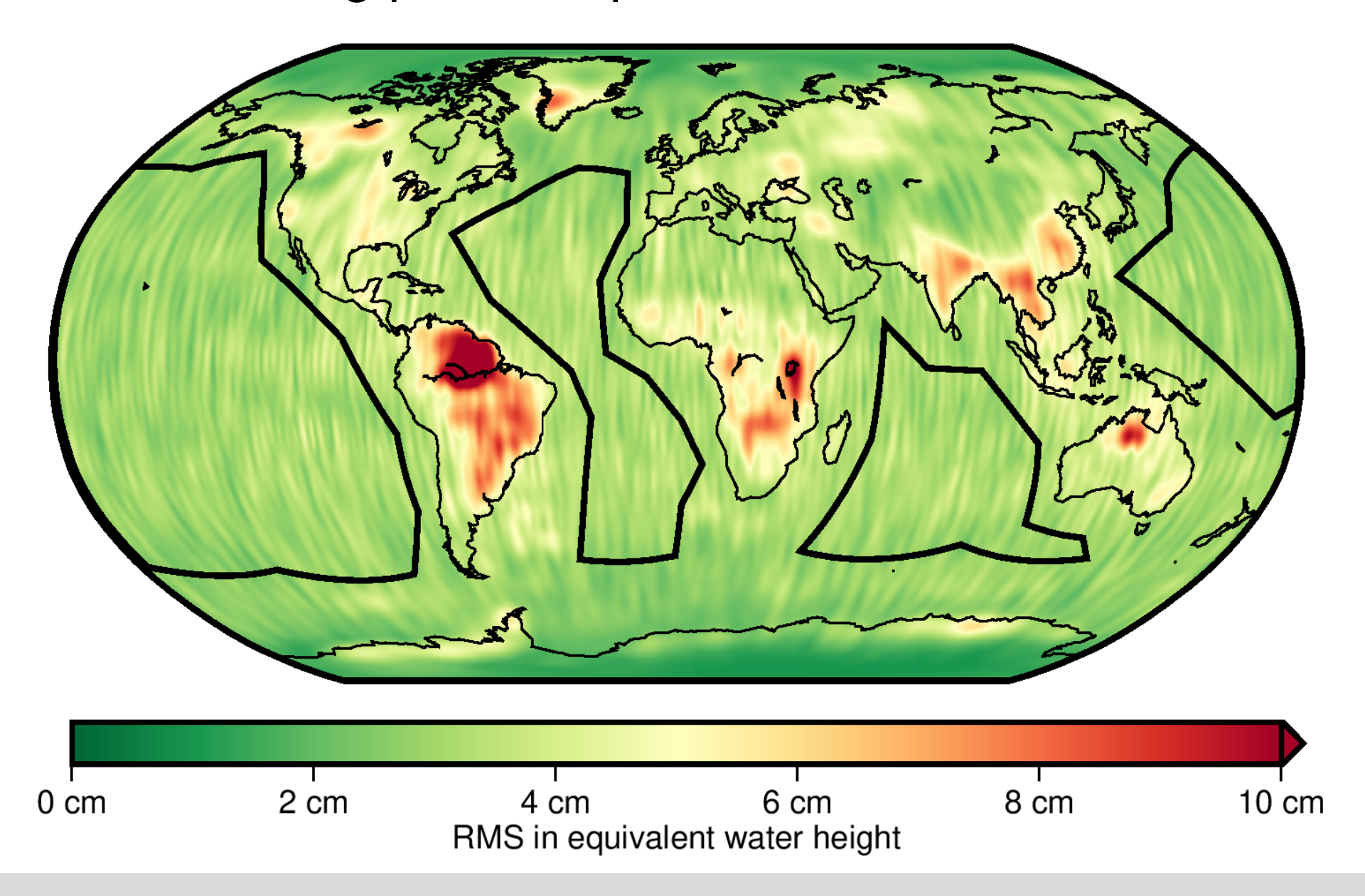




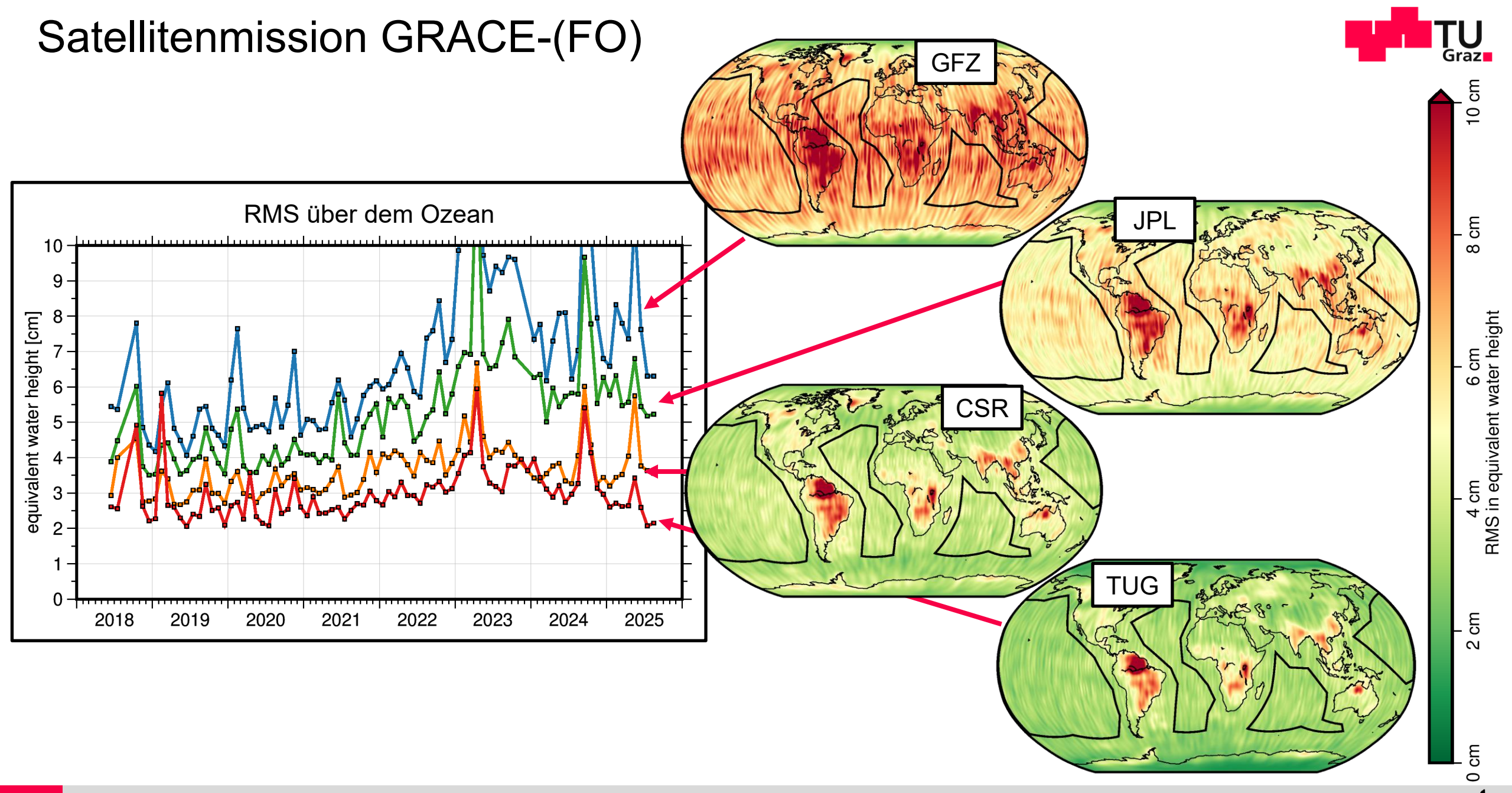


Standardabweichung pro Gitterpunkt





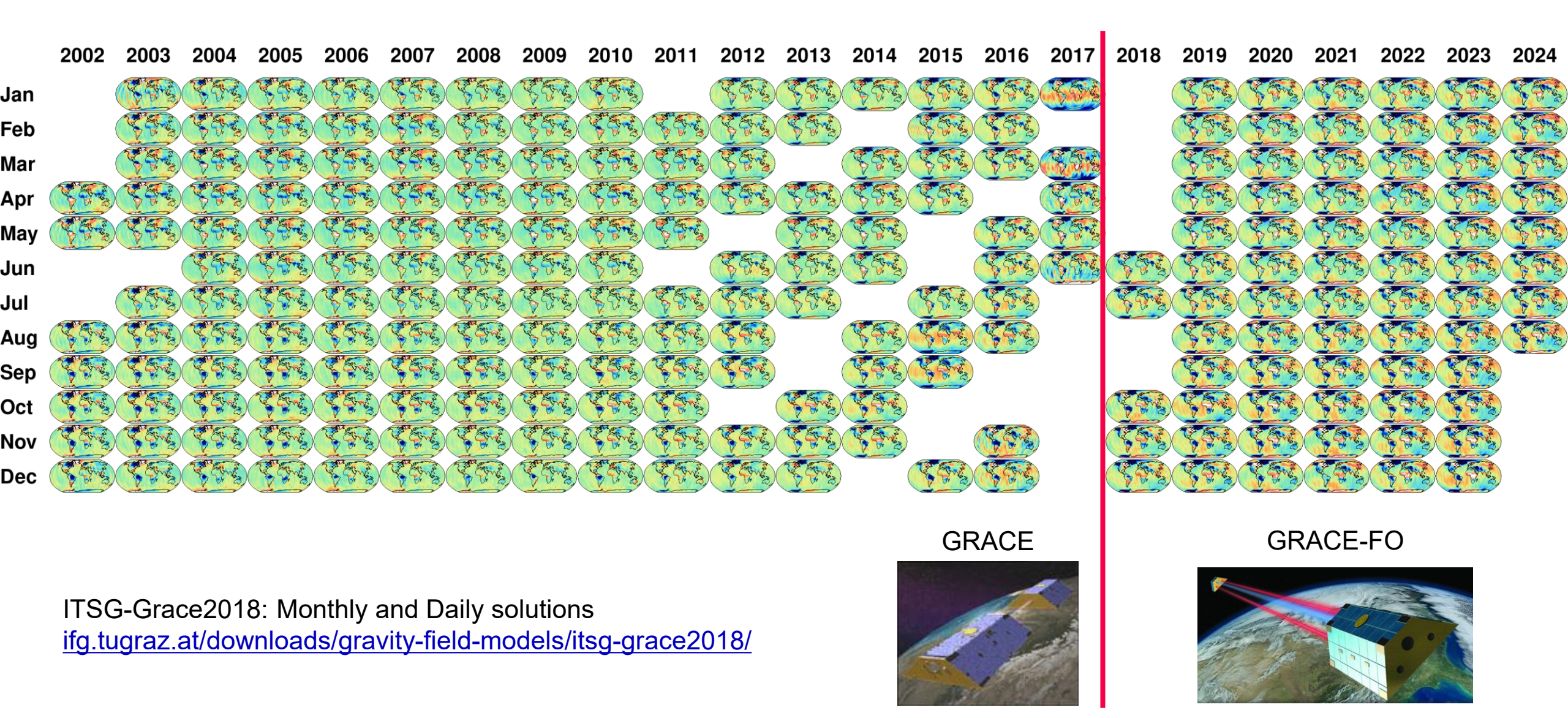






ITSG-Grace monthly gravity field solutions









Technischer Bericht



Technischer Bericht



- Nachweis der Übungsleistung
- Vorbereitung auf die Erstellung wissenschaftlicher Texte:
 - Bachelorarbeit, Masterarbeit, Dissertation, wissenschaftliche Artikel

Sehr empfohlen: verwenden Sie LaTex!



Zitierung



- Aussagen in wissenschaftlichen Texten sind entweder
 - Allgemein bekannt/trivial
 - Von anderen übernommen: Referenz angeben, z.B. (Mayer-Gürr et. al., 2019)
 - Eigene Interpretation: Begründung muss aus dem Text folgen

Es gibt unterschiedliche Zitierstile! In meinen Fachbereich wird wie folgt im Text zitiert:

Ein oder zwei Autoren: (Kvas und Mayer-Gürr, 2019)

Drei oder mehr Autoren: (Mayer-Gürr et. al., 2021)

Zwei Artikel im gleichen Jahr: (Mayer-Gürr, 2006A und Mayer-Gürr, 2006B)

Literaturverzeichnis

- Kvas, A., Mayer-Gürr, T. (2019): GRACE gravity field recovery with background model uncertainties. J Geod 93, 2543–2552.
 https://doi.org/10.1007/s00190-019-01314-1
- Mayer-Gürr, T., Behzadpour, S., Eicker, A., Ellmer, M., Koch, B., Krauss, S., Pock, C., Rieser, D., Strasser, S., Süsser-Rechberger, B., Zehentner, N., Kvas, A. (2021): GROOPS: A software toolkit for gravity field recovery and GNSS processing, Computers & Geosciences, Volume 155, https://doi.org/10.1016/j.cageo.2021.104864.
- Kvas, A., Behzadpour, S., Ellmer, M., Klinger, B., Strasser, S., Zehentner, N., & Mayer-Gürr, T. (2019): ITSG-Grace2018:
 Overview and evaluation of a new GRACE-only gravity field time series. *Journal of Geophysical Research: Solid Earth*, 124, 9332–9344. https://doi.org/10.1029/2019JB017415



Wissenschaftlicher Text



- Bachelorarbeit/Masterarbeit: Generelle Gliederung
 - Titelseite
 - Abstrakt Deutsch/Englisch
 - Inhaltsverzeichnis
 - Einführung
 - Motivation/Aufgabenstellung/Fragestellung
 - Theoretische Grundlagen
 - Durchführung/Eigene Arbeiten
 - Zusammenfassung und Ausblick
 - Anhang
 - Literaturverzeichnis



Technischer Bericht



- Technischer Bericht: Generelle Gliederung
 - Titelseite
 - Abstrakt Deutsch/Englisch
 - Inhaltsverzeichnis
 - Einführung
 - Motivation/Aufgabenstellung/Fragestellung
 - Theoretische Grundlagen
 - Durchführung/Eigene Arbeiten
 - Zusammenfassung und Ausblick
 - Anhang
 - Literaturverzeichnis



Wissenschaftlicher Text



- Ein Text besteht aus einzelnen Blöcken/Abschnitten
 - Text: Kapitel/Unterkapitel/...
 - Abbildungen
 - Tabellen
- Ein Kapitel/Unterkapitel besteht ausschließlich aus Sätzen!
 - Formeln stehen nie alleine sondern sind immer Teil eines Satzes (mit Satzzeichen)
 - Referenzen gehören zum Satz
 - Einschübe (Klammern) gehören zum Satz
 - Abbildungen und Tabellen sind unabhängig Blöcke und nicht Teil des Kapitels (dazu später mehr)
- Referenzen:
 - Dies ist ein Satz, siehe Mayer-Gürr et. al., 2019.
 - Dies ist ein Satz (Mayer-Gürr et. al., 2019).
 FALSCH: Dies ist ein Satz. (Mayer-Gürr et. al., 2019).
- Einschübe:
 - Dies ist ein Satz (zusätzliche Bemerkung).
 FALSCH: Dies ist ein Satz. (zusätzliche Bemerkung)
- Formeln:
 - nächste Folie



Wissenschaftlicher Text

Auszug aus meiner Dissertation, Mayer-Gürr 2006:

Gleichungen referenzieren

- "Wenn (2.31) in (2.35) einsetzt folgt: …"
- Da die Formel zum Satz gehört, muss man im gleichen Satz nicht auf diese Formel referenzieren

Damit erhält man die Schätzung der Parameter

$$\hat{\mathbf{x}} = (\mathbf{A}^T \mathbf{A})^{-1} \mathbf{A}^T \mathbf{l}.$$

Formeln gehören zum Satz (mit Satzzeichen)

(2.9)

Das Dach auf der Lösung soll darauf hindeuten, dass es sich nicht um die wahren Parameter x handelt, sondern nur um ein bestmögliche Schätzung aus den gemessenen Beobachtungen. Aus den geschätzten Parametern lassen sich auch die Residuen schätzen

$$\hat{\mathbf{e}} = \mathbf{l} - \mathbf{A}\hat{\mathbf{x}},$$

Numerierung der Formeln \longrightarrow (2.10

und die geschätzten (fehlerfreien) Beobachtungen berechnen

$$\hat{\mathbf{l}} = \mathbf{l} - \hat{\mathbf{e}}.\tag{2.11}$$

Aus den geschätzten Residuen lässt sich außerdem die Genauigkeit der Messungen abschätzen. Die Schätzung der Varianz der Beobachtungen ergibt sich zu

$$\hat{\sigma}^2 = \frac{\hat{\mathbf{e}}^T \hat{\mathbf{e}}}{n - m},\tag{2.12}$$

mit der Anzahl der Beobachtungen n und der Anzahl der Parameter m. Eine Herleitung dieser Formel erfolgt später.



Formeln und Zahlen



- Alle Symbole sollten in den Formeln und im Text gleich dargestellt werden (z.B. Variablen kursiv), (Latex: \$n\$)
- Alle Symbole müssen erklärt werden
- Beim Programmieren ist die Multiplikation ein * in der Mathematik ein · (\cdot), wird aber meist weggelassen
 - $\hat{\mathbf{x}} = (\mathbf{A}^T * \mathbf{A})^{-1} * \mathbf{A}^T * \mathbf{I}$ Falsch:
 - Richtig (aber nicht gut): $\hat{\mathbf{x}} = (\mathbf{A}^T \cdot \mathbf{A})^{-1} \cdot \mathbf{A}^T \cdot \mathbf{I}$
 - Schön: $\hat{\mathbf{x}} = (\mathbf{A}^T \mathbf{A})^{-1} \mathbf{A}^T \mathbf{I}$
- Matrizen und Vektoren können (müssen nicht) fett dargestellt werden (aber einheitlich)
- Zahlen: Unterschied Programmieren und Mathematik
 - Falsch: 1.048e-05
 - Richtig: $1,048 \cdot 10^{-5} \text{ m}^2$ Einheiten nicht vergessen

Passende Anzahl von Ziffern

$$x = 5,0032 \text{ m} \pm 3.0 \text{ mm}$$

Eine Ziffer mehr als Genauigkeit

Bei Genauigkeiten reichen 2 Ziffern

Abbildungen



- Abbildungen/Tabellen sind nicht Teil des Texts,
 sondern bilden extra Blöcke mit eigener Unterschrift und Nummer
- Häufig am Beginn oder Ende einer Seite
- Abbildungen mit Unterschrift stehen für sich allein und sollten selbsterklärend sein
- Abbildungen müssen im Text referenziert werden
- Interpretation gehört in den Text
- Kapitel/Abschnitte nur mit Abbildungen sind sinnlos (Leeres Kapitel, da Abb. nicht Teil des Kapitels sind)



Abbildungen

- Abbildungen/Tabellen sind nicht Teil des Texts,
 sondern bilden extra Blöcke mit eigener Unterschrift und Nummer
- Häufig am Beginn oder Ende einer Seite
- Abbildungen mit Unterschrift stehen für sich allein und sollten selbsterklig
- Abbildungen müssen im Text referenziert werden
- Interpretation gehört in den Text
- Kapitel/Abschnitte nur mit Abbildungen sind sinnlos (Leeres Kapitel, da /

2 Page 8 of 15 O. Montenbruck et al.

Table 3 Block-specific statistics of GPS L1/L2 phase pattern differences between ground calibrated and observed patterns

Block	LMB-TUG	IGS-TUG
IIR-A	1.9	2.2
IIR-B/IIR-M	1.1	1.6
HF	1.1	1.8
III	1.3	1.3

All values are given in mm and represent median values of the respective satellite-specific RMS differences on a triangular vertex grid. LMB = Lockheed Marlin/Boeing

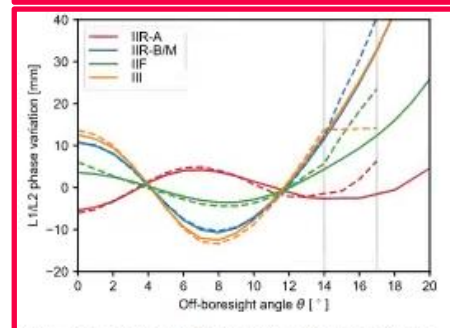


Fig. 5 Block- and azimuth-averaged L1/L2 phase patterns from manufacturer calibrations (solid lines) and corresponding values of the igs20.atx antenna model (dashed lines). For proper comparison, a PCO and bias contribution has been removed from each data set based on equal weighting on a 1° grid up to 14° off-boresight angle. Gray lines mark the limits of the IGS model covered by Earth-based observations and the extension derived from LEO satellite measurements

2D transmit antenna phase patterns in precise GPS processing.

Despite the subtle deviations between ground calibrations and in-flight antenna characteristics, the manufacturer data offer unique advantages over the observed patterns. On the one hand, independent patterns are provided for each frequency band, which supports a consistent observation modeling in an uncombined processing scheme and facilitates a fully consistent use of triple-frequency (L.I. L.2, L.5) observations. On the other hand, the ground calibrations cover an off-boresight angle of at least 23° and can seamlessly be applied for spaceborne platforms at altitudes of up to almost 10,000 km.

For illustration, Fig. 5 shows the variation of block- and azimuth-averaged phase patterns with off-boresight angle for the ionosphere-free L1/L2 combination. In accordance with the previous discussion, a good consistency of manufacturer calibrations and the IGS antenna model can be recognized over the range of off-boresight angles covered by observations with the IGS station network. Except for a 2.5 mm

difference in the IIF antenna pattern at $\theta=0^\circ$, the agreement is always better than 1.1 mm. As may be recognized from the nonzero slope of the IIF phase variations in boresight direction, the discrepancy can readily be attributed to a deficiency of the IGS pattern estimates, which was first introduced into the igs08.atx antenna model and retained since then. Based on GPS tracking from LEO satellites with altitudes of up to 1340 km, extensions of the IIR-A, IIR-B/M, and IIF antenna patterns up to $\theta=17^\circ$ were derived in Jäggi et al. (2010) and Jäggi et al. (2012), which were subsequently adopted for the igs20.atx antenna model. For GPS III satellites, in contrast, no spaceborne observations were available when establishing the first IGS phase pattern model for these satellites, and a constant extension was adopted instead.

Improved extensions consistent with the other blocks were later presented in Conrad et al. (2023) and Dilssner et al. (2023), but have not been incorporated into the IGS antenna model so far. However, a very poor match of the IGS phase pattern extensions is also evident for IIR-A, IIR-B/M, and HF satellites, which increases to roughly 10 mm at $\theta = 17^{\circ}$. This mismatch can primarily be attributed to the fact that the IGS values beyond $\theta = 14^{\circ}$ do not represent absolute phase pattern, but have been determined relative to two Block IIA satellites. For these, a constant phase variation was arbitrarily assumed to allow for the separation of the unknown GPS transmit antenna patterns and LEO receive antenna phase patterns in that region (Jäggi et al. 2010, 2012). Among others, this results in a sudden change of slope of the IGS phase patterns at 14°, whereas the manufacturer calibrations exhibit a smooth variation with a continuous derivative at this point.

Due the fact that the patterns in Fig. 5 are minimized over the Earth coverage zone ($\theta \leq 14^{\circ}$), a notable increase outside this region may be observed. This is most pronounced for the IIR-B/M and GPS III satellites, where values of 65 mm are attained at off-boresight angles of 20° for the azimuth-averaged L1/L2 patterns. In addition, notable azimuth variations may arise outside the Earth coverage zone of the transmit antennas. They are most pronounced for the IIR-A and IIF satellites and can attain amplitudes of about 10 mm level near $\theta = 20^{\circ}$. Evidently, use of azimuth-mean patterns is discouraged in this region and the use of 2D patterns is clearly advisable for the precise modeling of spaceborne GNSS observations beyond the common altitude range of current LEO missions.

4.2 Phase center offsets

For proper GNSS observation modeling, a consistent set of transmit antenna data is required, which comprises, on the one hand, the offset of the phase center from the centerof-mass and, on the other hand, the phase variations with respect to the phase center. Evidently, identical definitions of the phase center need to be applied for both parts of the

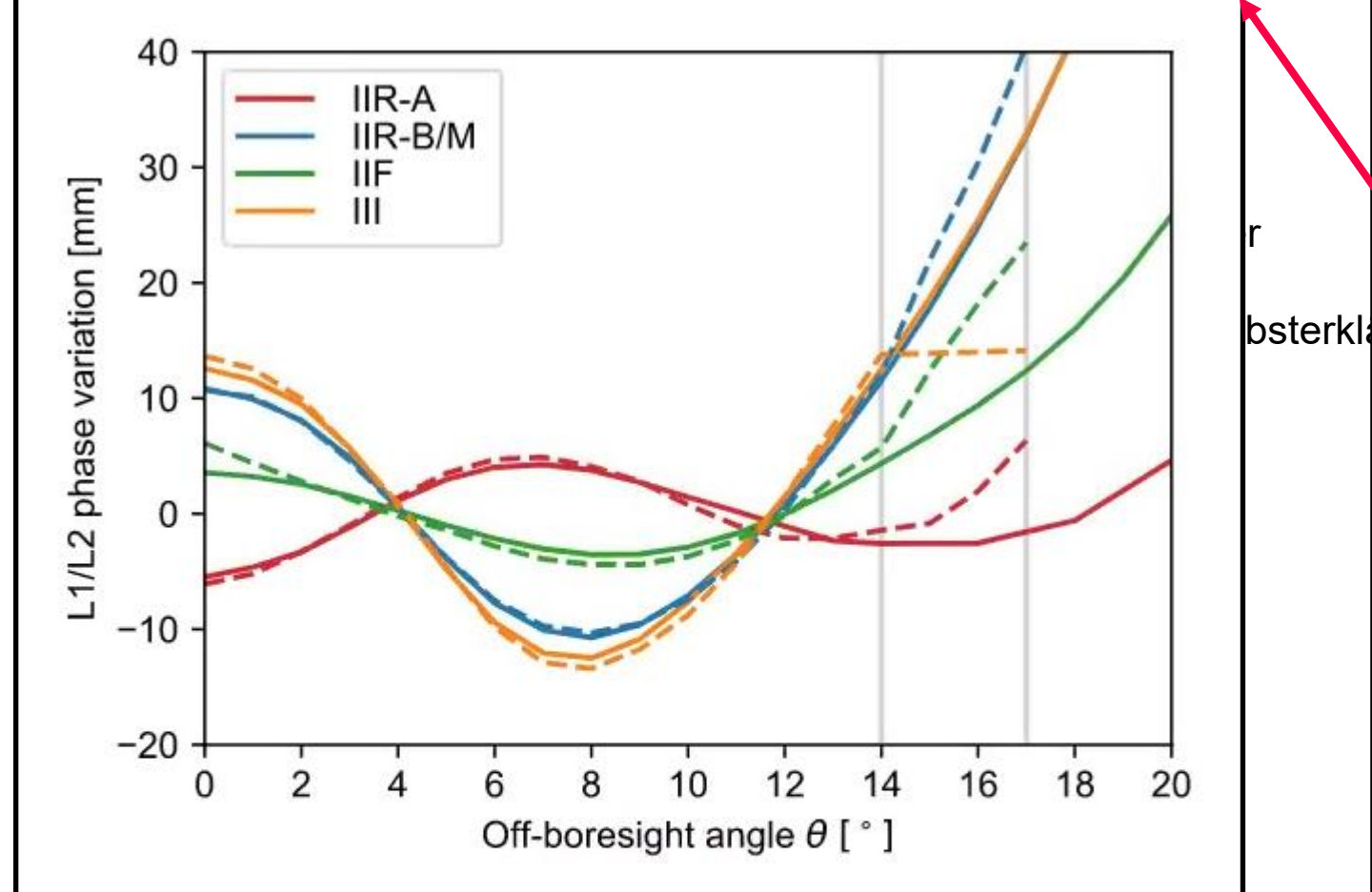


Fig. 5 Block- and azimuth-averaged L1/L2 phase patterns from manufacturer calibrations (solid lines) and corresponding values of the igs20.atx antenna model (dashed lines). For proper comparison, a PCO and bias contribution has been removed from each data set based on equal weighting on a 1° grid up to 14° off-boresight angle. Gray lines mark the limits of the IGS model covered by Earth-based observations and the extension derived from LEO satellite measurements

Table 3 Block-specific statistics of GPS L1/L2 phase pattern differences between ground calibrated and observed patierns

Block	LMB-TUG	IGS-TUG
IIR-A	1.9	2.2
IIR-B/IIR-M	1.1	1.6
HF	1.1	1.8
Ш	1.3	1.3

All values are given in mm and represent median values of the respective satellite-specific RMS differences on a triangular vertex grid. LMB =

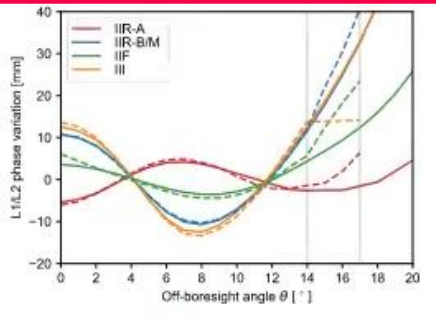


Fig. 5 Block- and azimuth-averaged L1/L2 phase patterns from man ufacturer calibrations (solid lines) and corresponding values of the igs20.atx antenna model (dashed lines). For proper comparison, a PCO and bias contribution has been removed from each data set based on equal weighting on a 1° grid up to 14° off-boresight angle. Gray lines mark the limits of the IGS model covered by Earth-based observations and the extension derived from LEO satellite measurements

2D transmit antenna phase patterns in precise GPS process-

Despite the subtle deviations between ground calibrations and in-flight antenna characteristics, the manufacturer data offer unique advantages over the observed patterns. On the one hand, independent patterns are provided for each frequency band, which supports a consistent observation modeling in an uncombined processing scheme and facilitates a fully consistent use of triple-frequency (L1, L2, L5)

Wenn nötig, können das mehrere Zeilen sein

> calibrations and the IGS antenna model can be recognized over the range of off-boresight angles covered by observa-

> tions with the IGS station network. Except for a 2.5 mm

difference in the IIF antenna pattern at $\theta = 0^{\circ}$, the agreement is always better than 1.1 mm. As may be recognized from the nonzero slope of the IIF phase variations in boresight direction, the discrepancy can readily be attributed to a deficiency of the IGS pattern estimates, which was first introduced into the igs08.atx antenna model and retained since then. Based on GPS tracking from LEO satellites with altitudes of up to 1340 km, extensions of the IIR-A, IIR-B/M, and IIF antenna patterns up to $\theta = 17^\circ$ were derived in Jäggi et al. (2010) and Jäggi et al. (2012), which were subsequently adopted for the igs20.atx antenna model. For GPS III satellites, in contrast, no spaceborne observations were available when establishing the first IGS phase pattern model for these satellites, and a constant extension was adopted instead.

Improved extensions consistent with the other blocks were later presented in Conrad et al. (2023) and Dilssner et al. (2023), but have not been incorporated into the IGS antenna model so far. However, a very poor match of the IGS phase pattern extensions is also evident for IIR-A, IIR-B/M, and HF satellites, which increases to roughly 10 mm at $\theta = 17^{\circ}$ This mismatch can primarily be attributed to the fact that the IGS values beyond $\theta = 14^{\circ}$ do not represent absolute phase pattern, but have been determined relative to two Block IIA satellites. For these, a constant phase variation was arbitrarily assumed to allow for the separation of the unknown GPS transmit antenna patterns and LEO receive antenna phase patterns in that region (Jäggi et al. 2010, 2012). Among others, this results in a sudden change of slope of the IGS phase patterns at 14°, whereas the manufacturer calibrations exhibit a smooth variation with a continuous derivative at this point.

Due the fact that the patterns in Fig. 5 are minimized over the Earth coverage zone ($\theta < 14^{\circ}$), a notable increase outside this region may be observed. This is most pronounced for the IIR-B/M and GPS III satellites, where values of 65 mm are attained at off-boresight angles of 20° for the azimuth-averaged L1/L2 patterns. In addition, notable azimuth variations may arise outside the Earth coverage zone of the transmit antennas. They are most pronounced for the IIR-A and IIF satellites and can attain amplitudes of about 10 mm level near $\theta = 20^{\circ}$. Evidently, use of azimuthmean patterns is discouraged in this region and the use of 2D patterns is clearly advisable for the precise modeling of spaceborne GNSS observations beyond the common altitude range of current LEO missions.

4.2 Phase center offsets

can seam-

tudes of up

block- and

ht angle for dance with

anufacturer

For proper GNSS observation modeling, a consistent set of transmit antenna data is required, which comprises, on the one hand, the offset of the phase center from the centerof-mass and, on the other hand, the phase variations with respect to the phase center. Evidently, identical definitions of the phase center need to be applied for both parts of the

2 Springer

Abbildungen



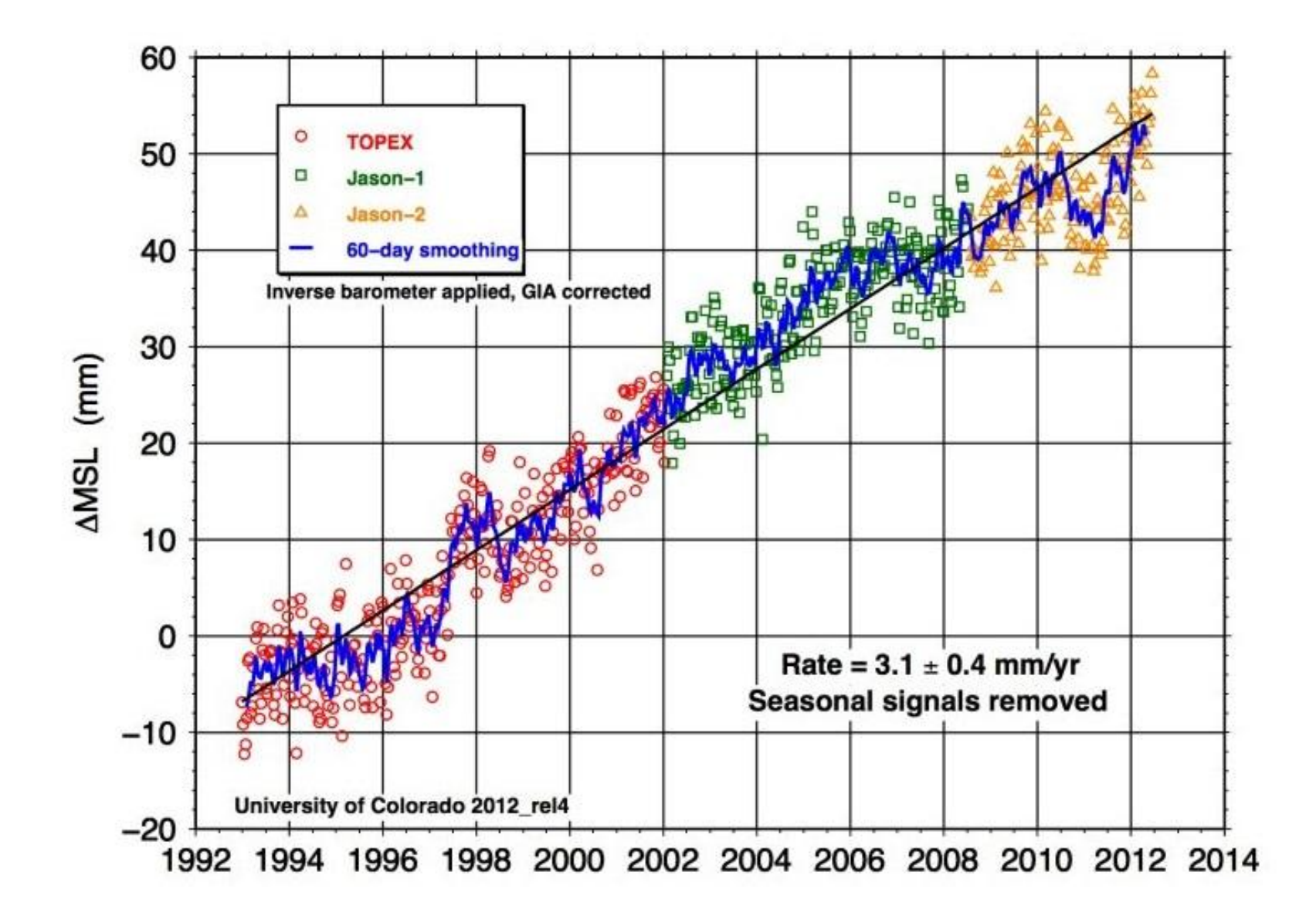
- Abbildungen/Tabellen sind nicht Teil des Texts,
 sondern bilden extra Blöcke mit eigener Unterschrift und Nummer
- Häufig am Beginn oder Ende einer Seite
- Abbildungen mit Unterschrift stehen für sich allein und sollten selbsterklärend sein
- Abbildungen müssen im Text referenziert werden
- Interpretation gehört in den Text
- Kapitel/Abschnitte nur mit Abbildungen sind sinnlos (Leeres Kapitel, da Abb. nicht Teil des Kapitels sind)

Legenden, Achsenbeschriftungen sollten eine ähnliche Schriftgröße wie die Bildunterschrift haben



Abbildungen

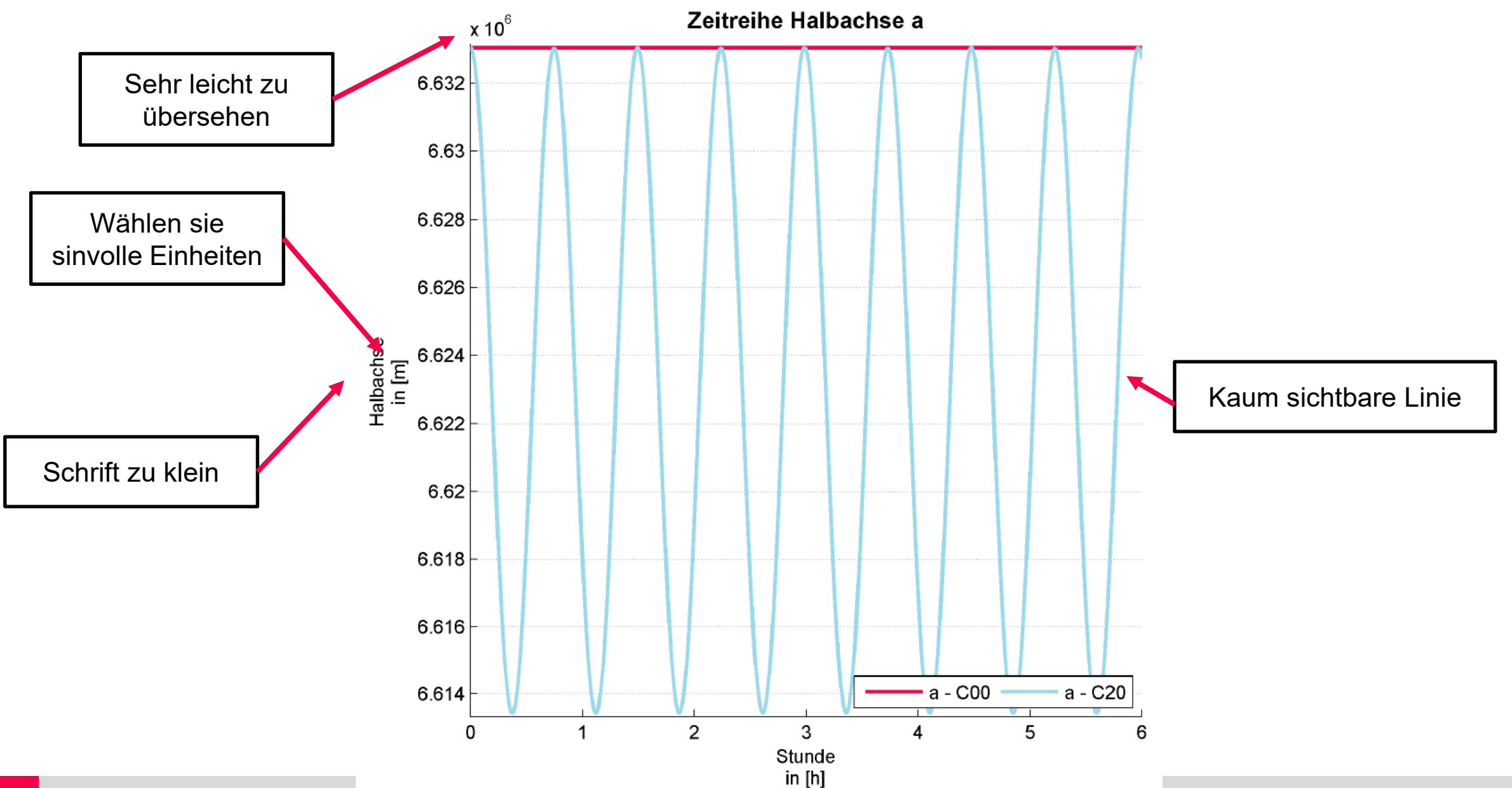






Abbildungen (schlechtes Beispiel)







Technischer Bericht



Technischer Bericht: Generelle Gliederung

Titelseite

Einführung: Aufgabenstellung

- Theoretische Grundlagen
- Durchführung/Eigene Arbeiten
- Ergebnisse
 - Mit Interpretation
- Zusammenfassung und Ausblick
- Anhang
- Literaturverzeichnis

Für diesen Bericht.

Benötigte Formeln aus der Vorlesung, Verweis auch die Vorlesung

Anwendung der Formeln:

- Wie ist der Vektor I und x aufgebaut?
- Was steht in der Designmatrix?
- Dimensionen?

Was habe ich getan? Was könnte man noch tun?

